

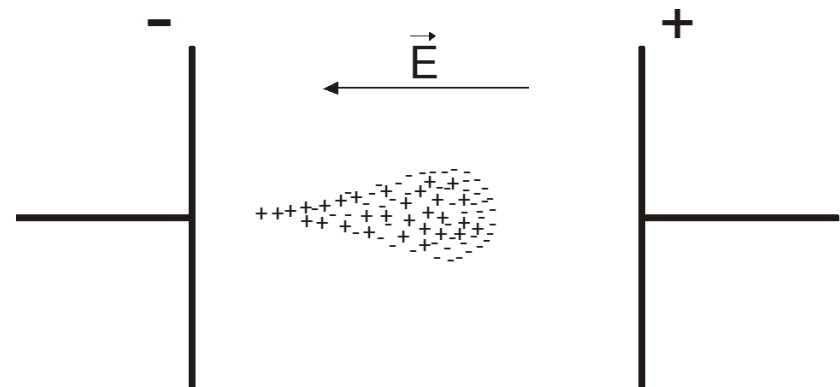
PASCHENOV ZÁKON

F3180 | Výboje v plynech

prof. RNDr. Mirko Černák, CSc.

M U N I
S C I

Prvý Townsendov koeficient



prvá teória popisujúca pomery v plynnom el.
výboji – Townsendova teória lavín

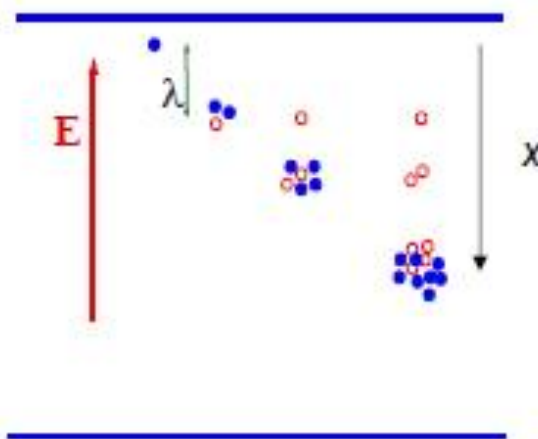
- nech e opúšťajú katódu v dôsledku fotoemisie

n_0 počet e, ktoré opúšťajú jednotku plochy katódy za 1 s

j_0 prúdová hustota na povrchu katódy

každý e pri svojom pohybe k anóde ionizuje neutrálnu časticu plynu, vznikne ďalší e, ktorý je tiež urýchľovaný el. poľom, tieto e tiež nárazom ionizujú, vznikne lavína

- Prvý Townsendov koeficient α je počet ionizačných zrážok, ktoré elektrón vykoná na jednotkovej dráhe (1 cm) pri pohybe v smere elektrického poľa.



$$dn = n \alpha dx$$

$$n(x) = n_0 e^{\alpha x}$$

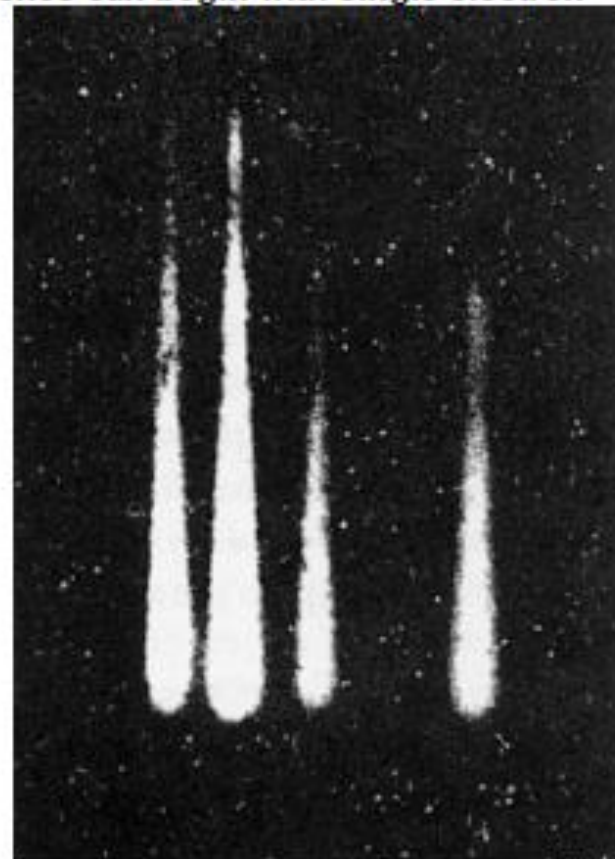
Spatial multiplication factor or Gain

$$M(x) = \frac{n}{n_0} = e^{\alpha x}$$

α = Townsend coefficient



Combined cloud chamber-avalanche chamber
Avalanches can begin with single electron



H. Raether

Electron avalanches and breakdown in gases
(Butterworth 1964)

$$\alpha/p \approx Ae^{-Bp/E}$$

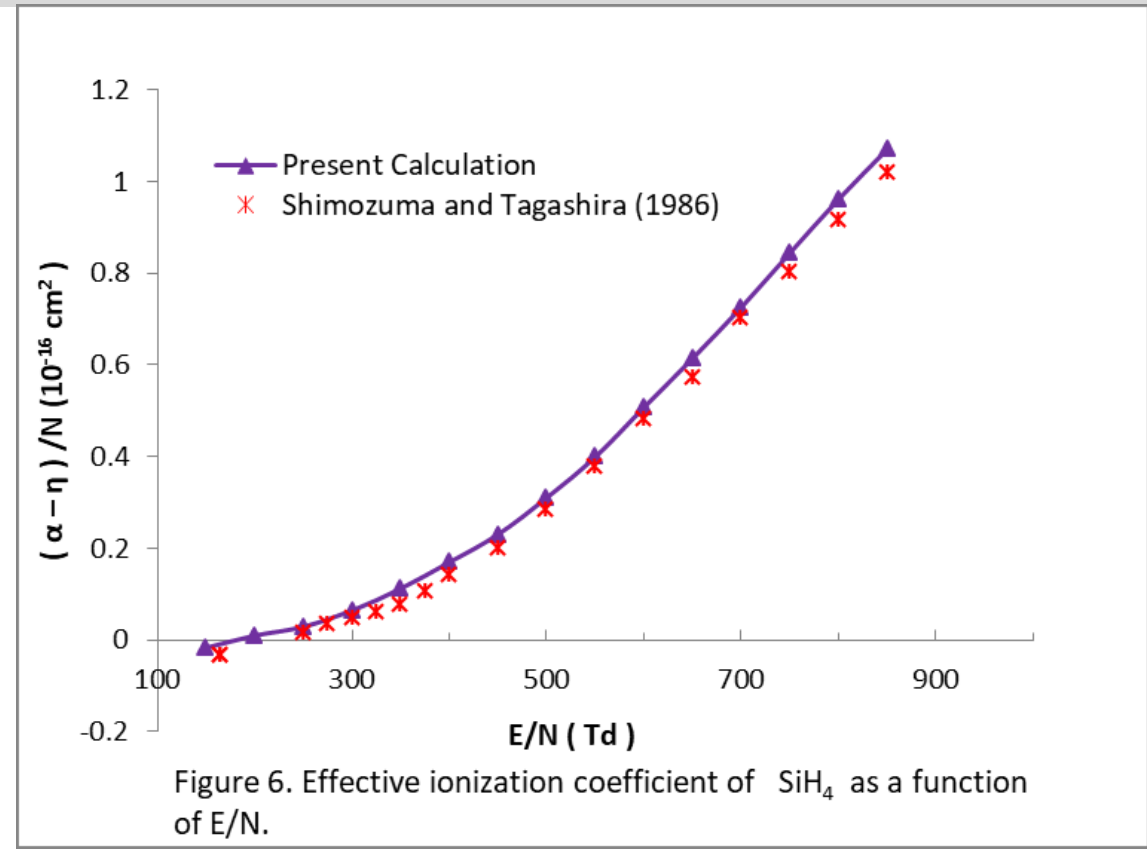
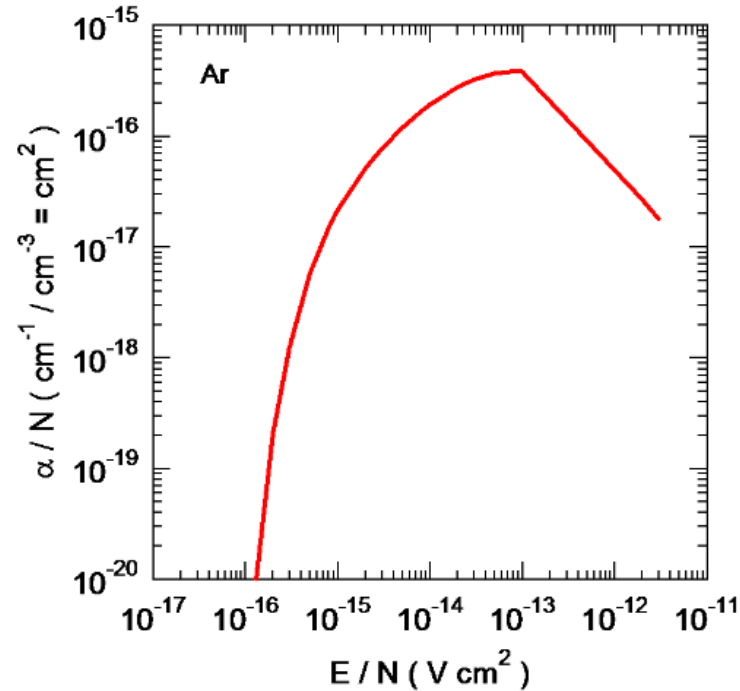


Figure 6. Effective ionization coefficient of SiH_4 as a function of E/N .

Othman M. et al. /ZJPAS: 2019, 31(1): 77-88

Ako jednotka pre E/n sa vo fyzike el. výbojov používa i
1 Td (Townsend) = $10^{-17} \text{ V.cm}^{-2}$

Efektívny koeficient ionizácie je rozdiel „čistého“ koeficientu ionizáce a koeficientu záchytu elektrónov

Nepružné zrážky

Vzduch

- mimoriadne vysoký prierez (účinnosť) vibračnej excitácie

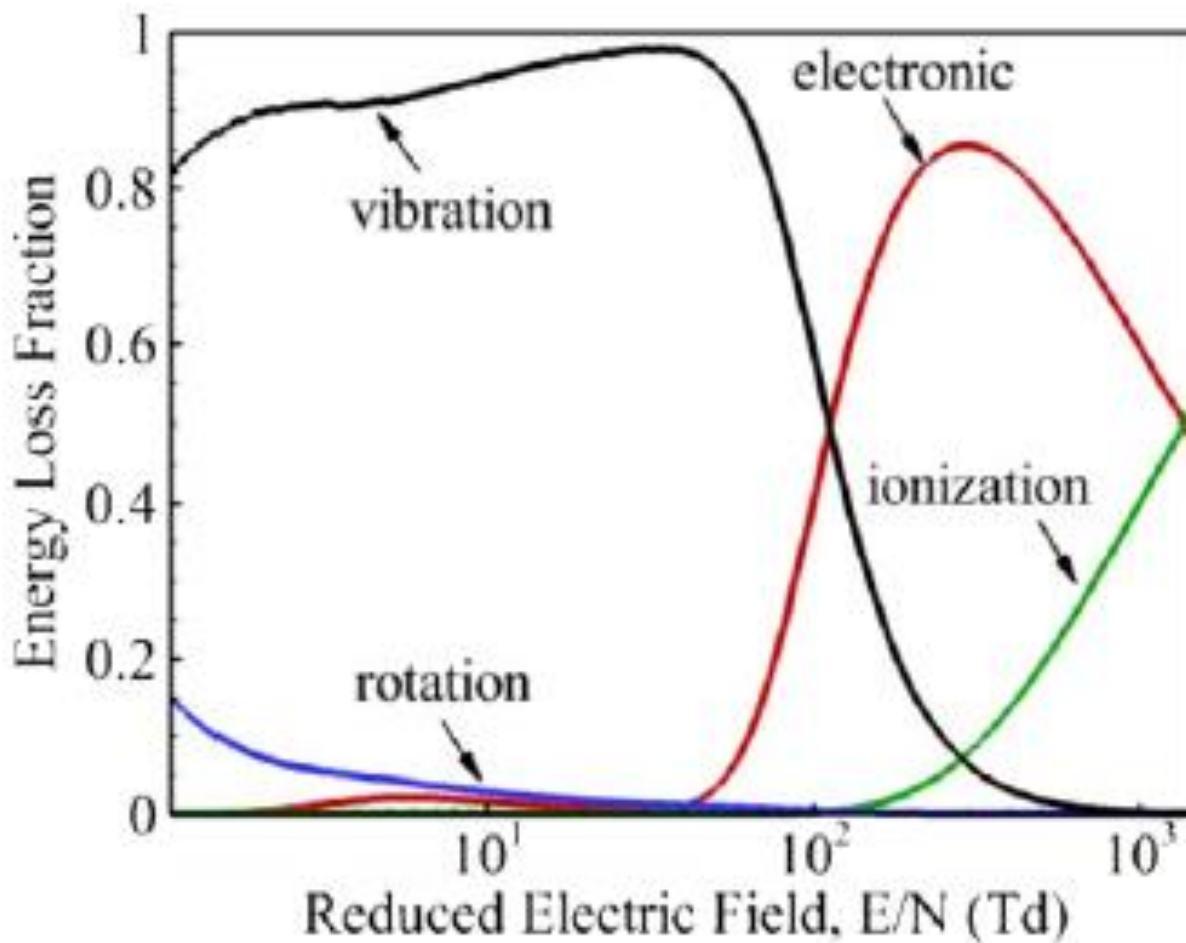


Figure 1. Fraction of electron energy lost in excitation of internal energy modes and ionization of O_2 and N_2 molecules in air as a function of reduced electric field, E/N .

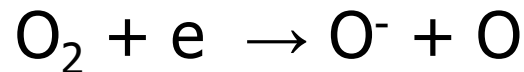
Koeficient záchytu elektrónov

Vzduch

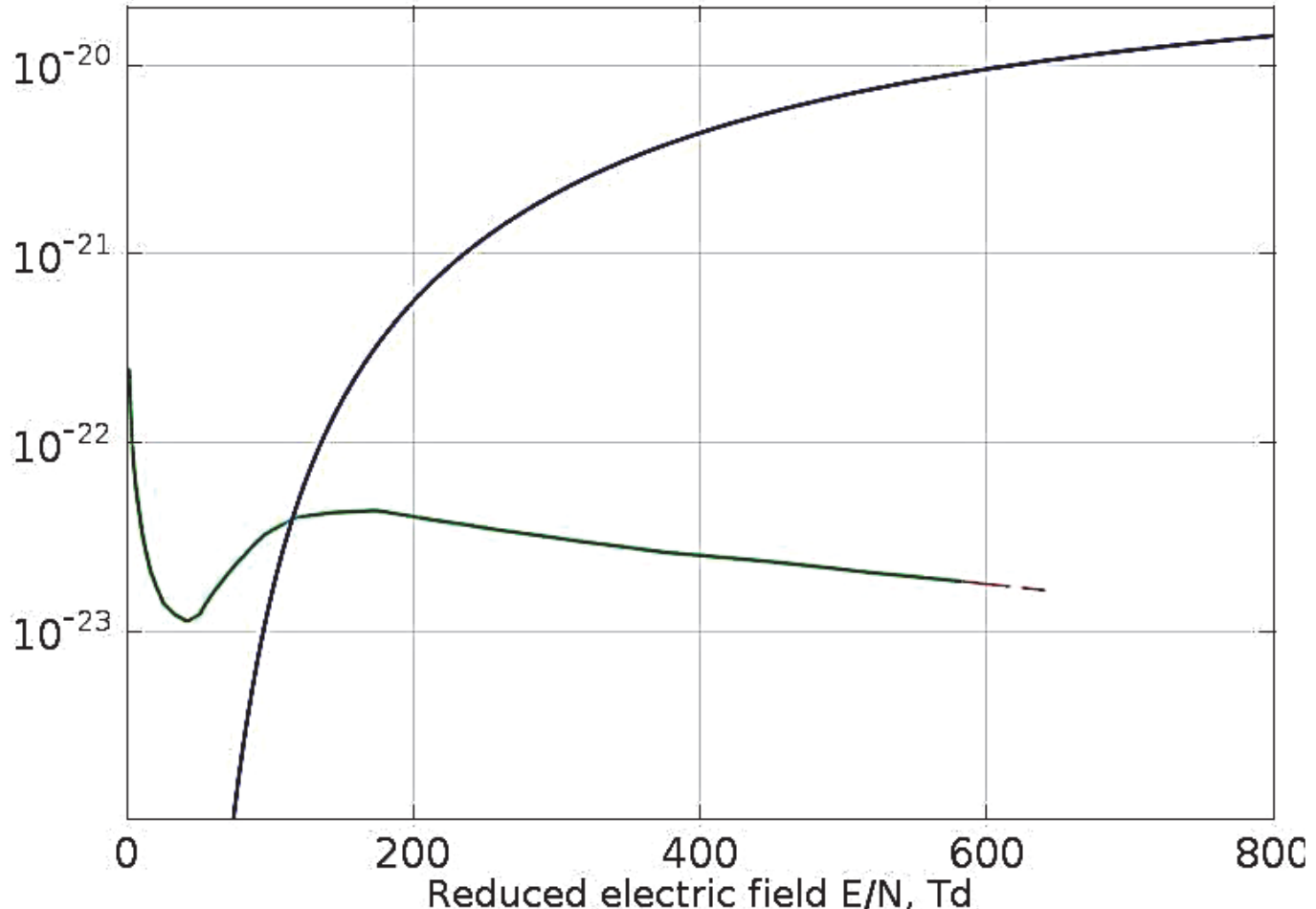
trojný záchyt:



disociatívny:

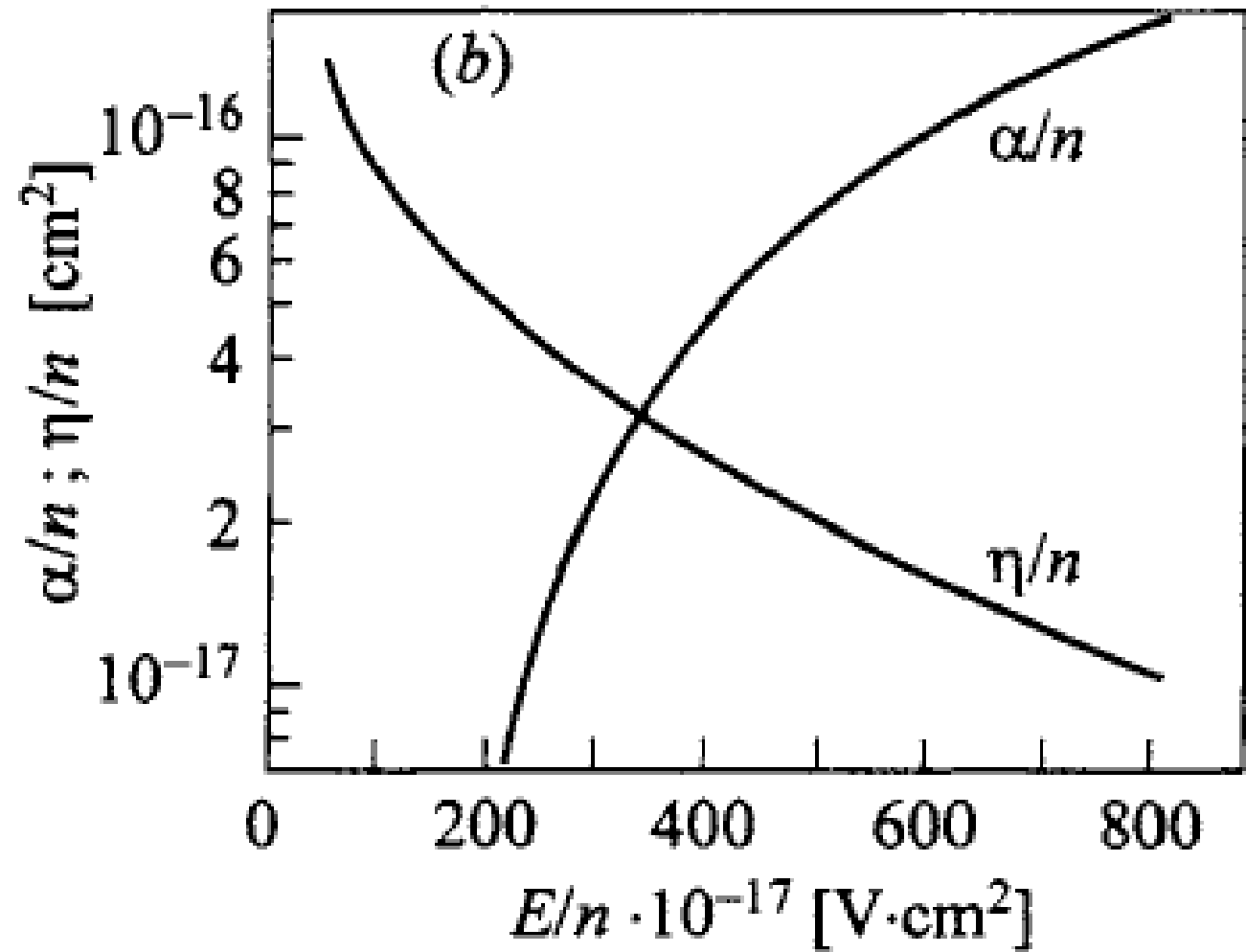


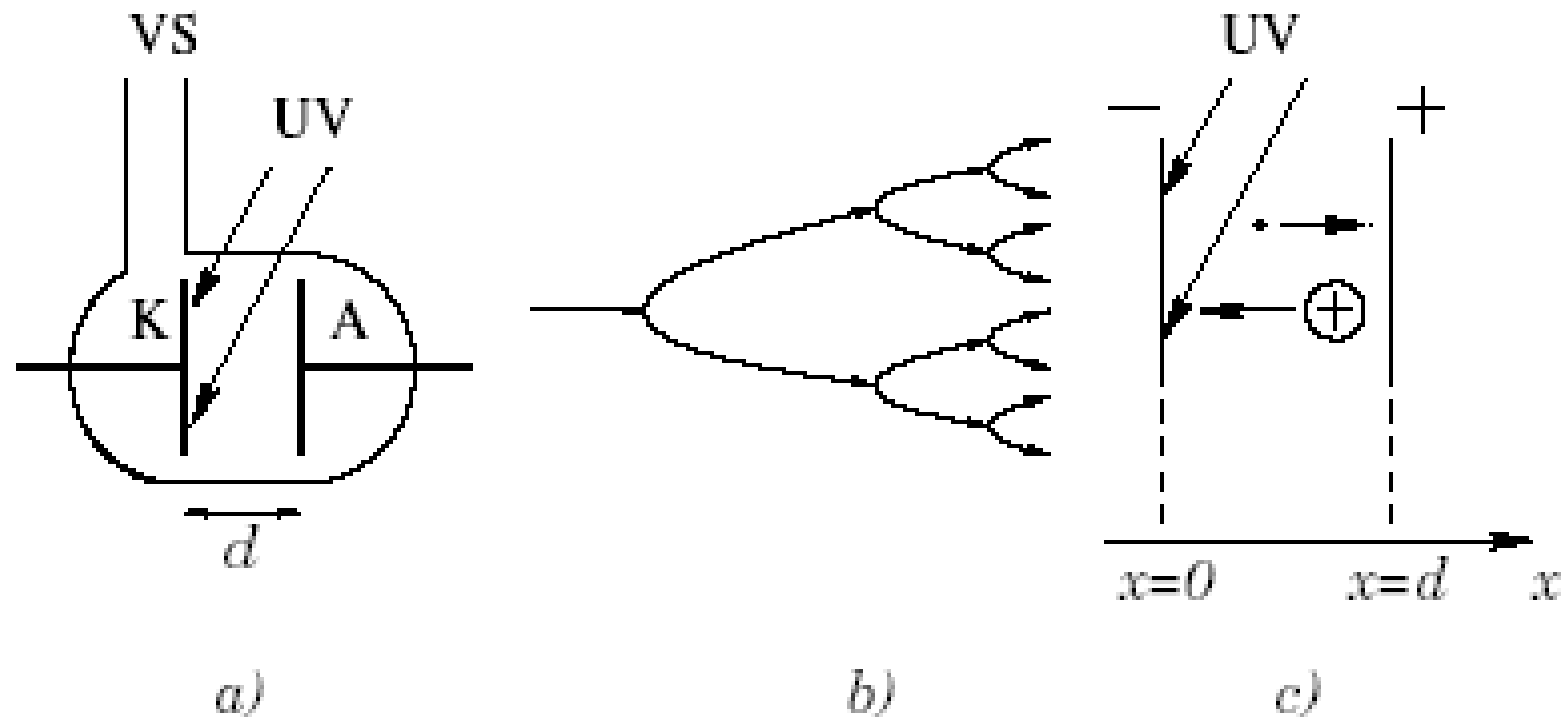
Ionization alpha/N and attachment eta/N coefficients, m²



Koeficient záhytu elektrónov

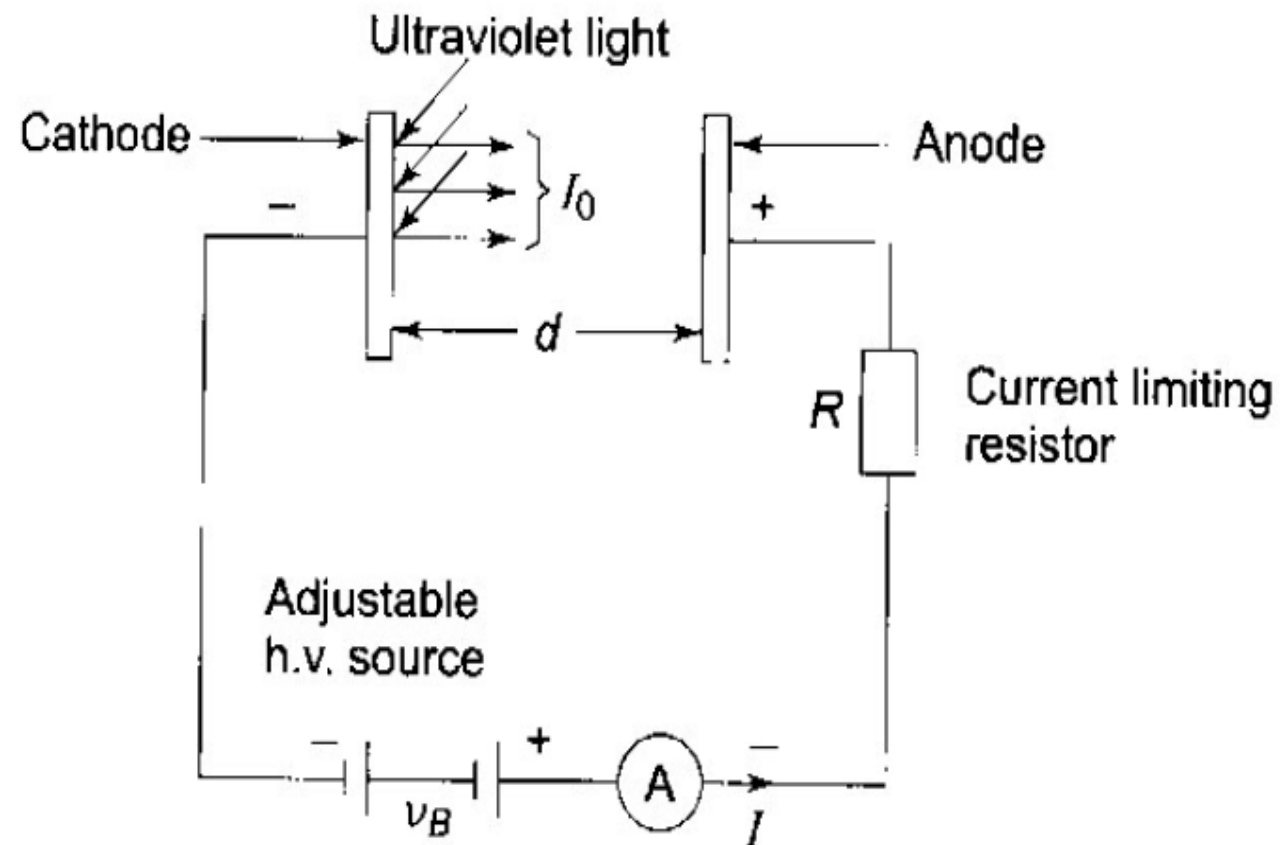
- SF6 („elegas“)





Obr. 5.2: Zapáľovanie výboja: a) výbojka na meranie zapáľovacieho napäťa; K - katóda, A - anóda, UV - ultrafialové žiarenie zabezpečujúce emisiu primárnych elektrónov, VS - napojenie na vákuový systém; b) elektrónová lavína; c) označenie polohy elektród

Experimentálne usporiadanie pre štúdium Townsendovho výboja



na dráhe dx jeden e uskutoční αdx ionizácií

prírastok dn , ktorý zapríčiní n elektrónov vo vrstve dx potom je

$$dn = n \alpha dx$$

riešenie:

$$\ln n = \alpha x + \text{konšt.}$$

protože pre $x = 0$ je $n = n_0$, bude po odlogaritmovaní :

$$n = n_0 e^{\alpha x}$$

prúdová hustota je analogicky

$$j = j_0 e^{\alpha x}$$

Ak vzdialenosť medzi elektródami bude rovná d , potom celkový počet elektrónov, ktorý dopadne na anódu bude :

$$n_0 e^{ad}$$

v tomto počte sú zahrnuté aj pôvodné e z katódy, teda počet elektrónov NOVozniknutých ionizáciou medzi K a A je

$$n_0 e^{ad} - n_0$$

to je súčasne rovné počtu kladných iónov, ktoré vznikli vo výbojovom priestore (zanedbávame priestorovú ionizáciu nárazom kladných iónov, t.j. druhý Townsendov koeficient $\beta = 0$)

Tretí Townsendov koeficient γ – ak dopadne na katódu kladný ión, vyrazí z nej γ nových elektrónov, teda ak na katódu dopadne

$n_0(e^{ad} - 1)$ kladných iónov, vyrazí z nej $\gamma n_0(e^{ad} - 1)$ nových elektrónov

Potom bude teda z katódy vystupovať viac elektrónov, nielen n_0 , označme ich počet na katóde **v ustálenom stave** n_I , čo bude celkovo

$$n_I = n_0 + \gamma n_I (e^{ad} - 1) \quad \text{z čoho} \quad n_I = n_0 / (1 - \gamma(e^{ad} - 1))$$

A na anódu dopadne n_a elektrónov : $n_a = n_I e^{ad}$

Potom:

kdeže driftová rýchlosť elektrónov v je všade rovnaká (homogénne el. pole), a na anóde je prúd elektrónov rovný celkovému ustálenému prúdu platí (q je elementárny náboj):

$$v \cdot q \cdot n_a = v \cdot q \cdot n_I e^{ad}, \text{ čiže } j_a = j = j_I e^{ad}, \quad \text{kde} \quad j_I = j_0 / (1 - \gamma(e^{ad} - 1))$$

Takže pri ustálemom stave prúdová hustota na anóde a všade bude

$$j = j_0 e^{ad} / (1 - \gamma(e^{ad} - 1))$$

teda prúd nesamostatného lavínového výboja pro konštanom priereze

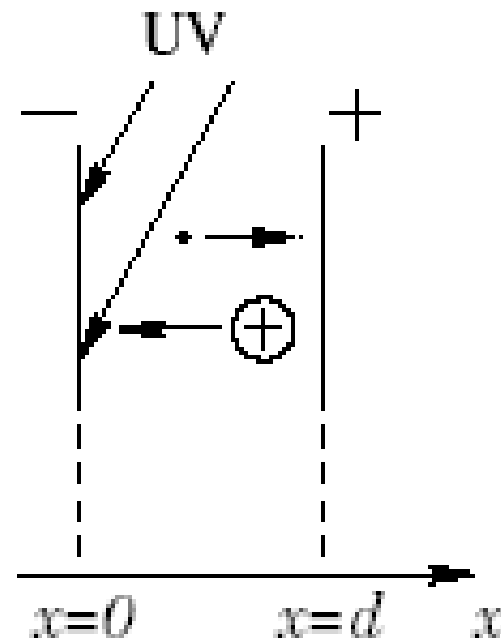
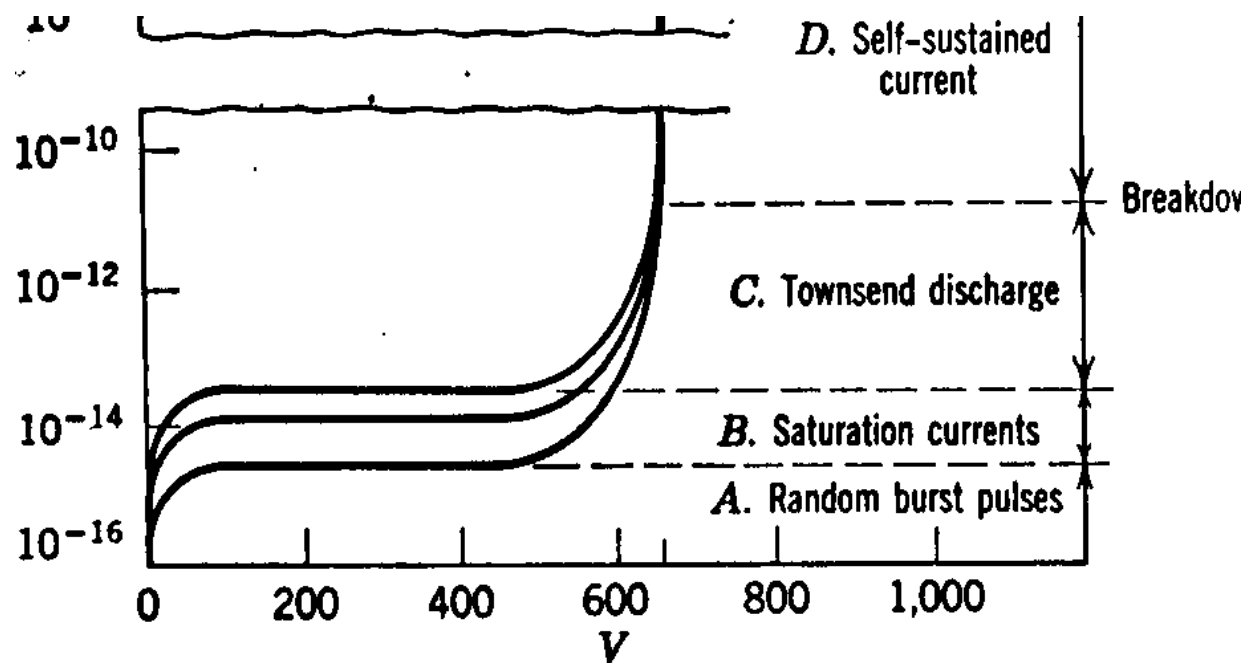
$$I = I_0 e^{ad} / (1 - \gamma(e^{ad} - 1))$$

Podmienka samostatného výboja

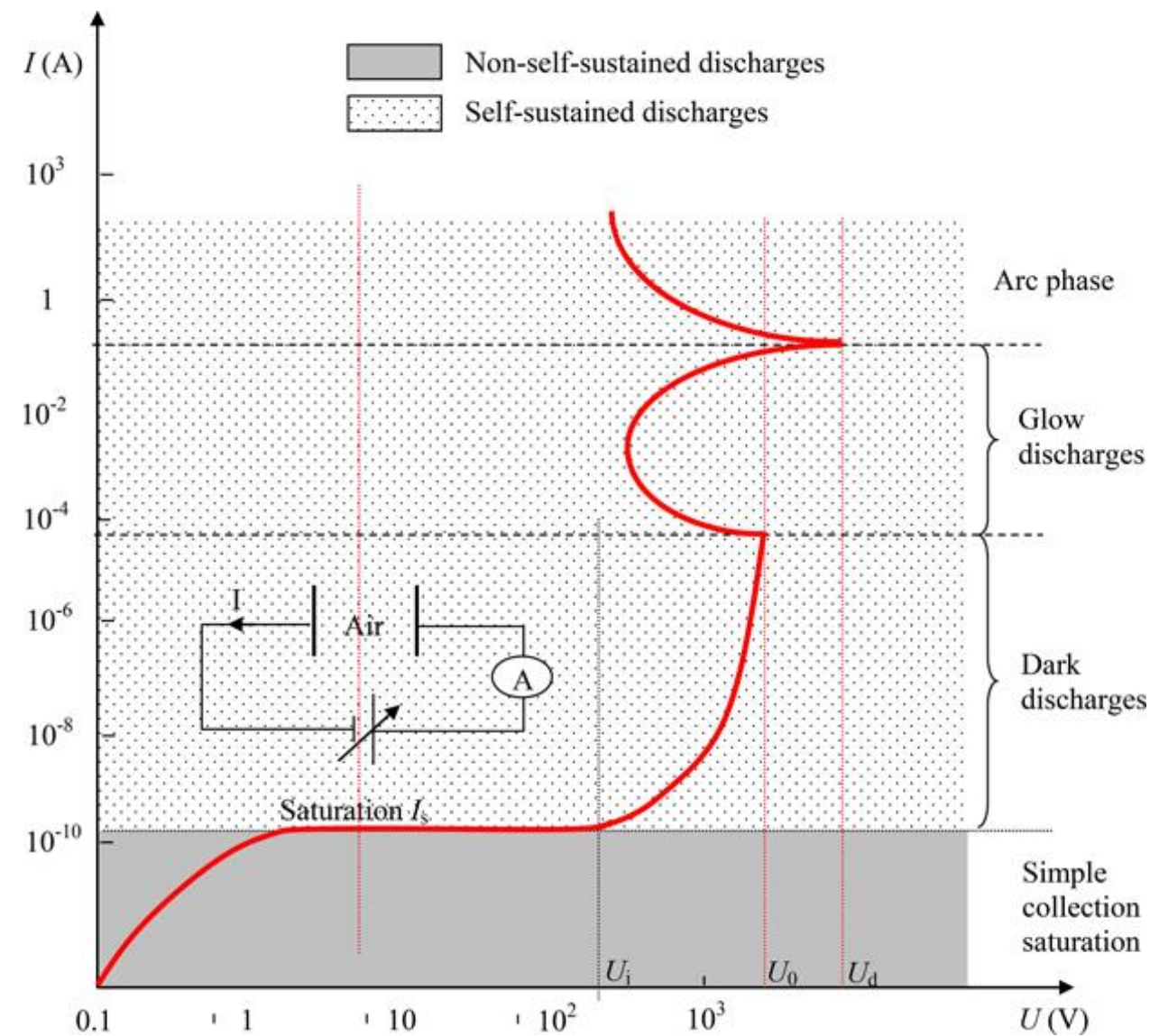
pri samostatnom ustálenom výboji musí platiť že prúd výboja už nezávisí od I_0 (netreba dodávať do výboja elektróny pomocou externého zdroja), teda menovateľ rovnice $I = I_0 e^{ad} / (1 - \gamma(e^{ad} - 1))$ musí byť blízky nule. Teda (fyzikálne nie čisto matematicky)

$$\gamma(e^{ax} - 1) \geq 1 \quad \text{Townsendova podmienka pre udržanie lavínového samostatného výboja}$$

V-A charakteristiky pre 3 rozne hodnoty I_0 (intenzity UV):



Nesprávne !!!



Sekundárna emisia elektrónov

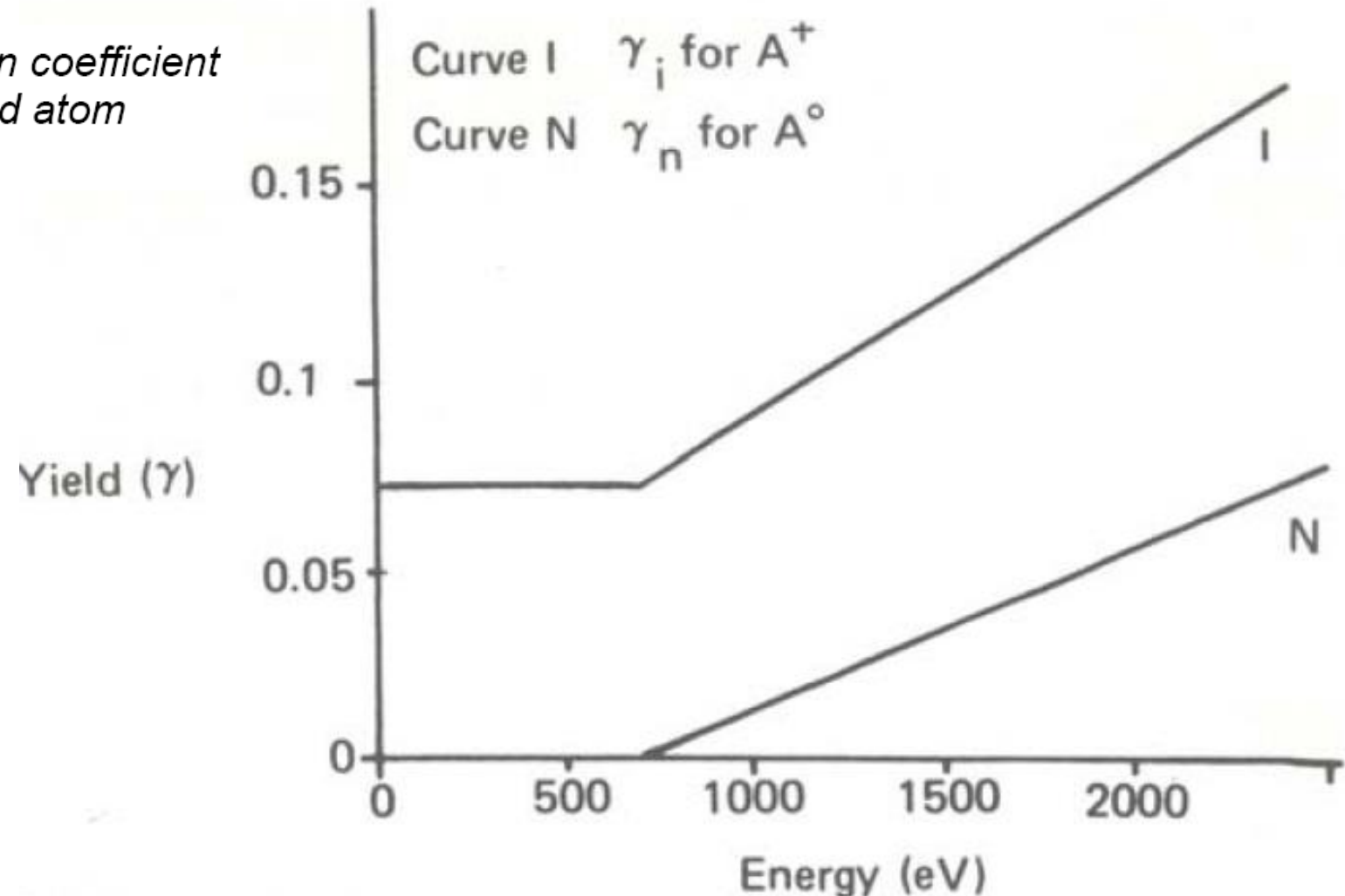
Townsendov koef. sekundárnej emisie β

- Emisia elektrónov z katódy je kritická pre udržanie samostatného výboja
 - Dva rôzne mechanizmy:
 - Sekundárna emisia pri dopade jednej častice vytvorennej vo výboji
 - Kladné ióny (energia ionizácie $> 2E_w$)
 - Fotóny
 - Neutrálne excitované čästice (metastabily)
 - Kolektívna emisia a to hlavne:
 - Termická emisia
 - Emisia silným el. poľom, autoemisia, studená emisia (tunelový efekt)

SE pri dopade kladných iónov

66. D. B. Medved, P. Mahadevan and J. K. Layton, *Phys. Rev.* **129**, 2086 (1963).

Figure 1.3: Secondary electron emission coefficient as a function of energy for argon ion and atom bombardment of molybdenum [66].



SECONDARY ELECTRON EMISSION 219

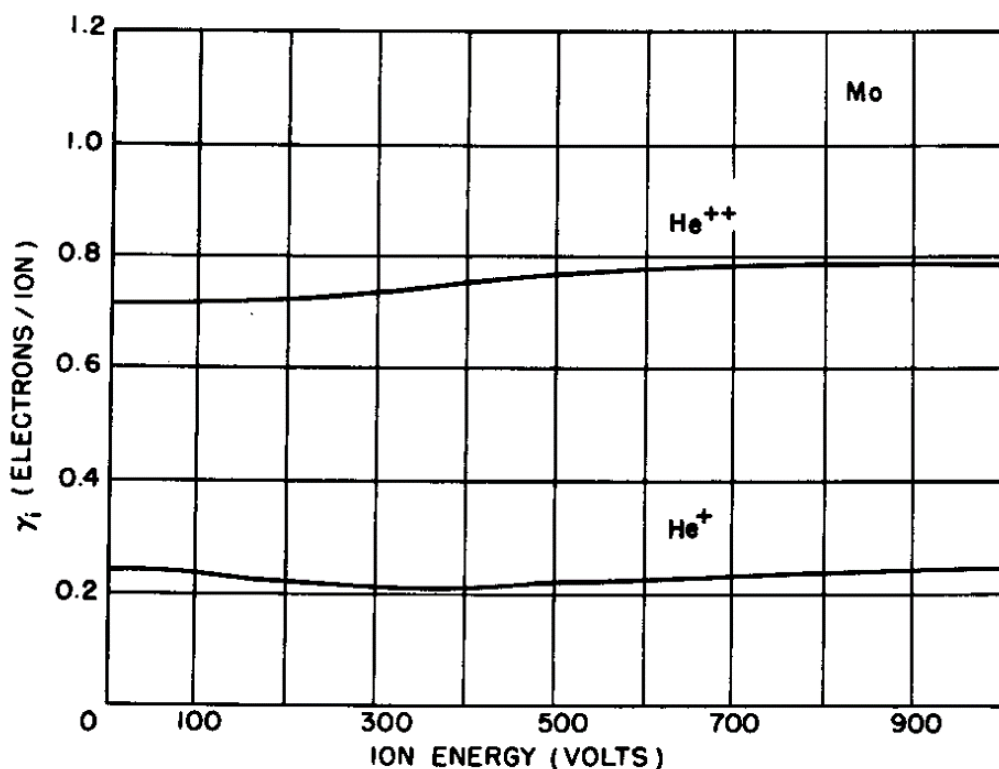
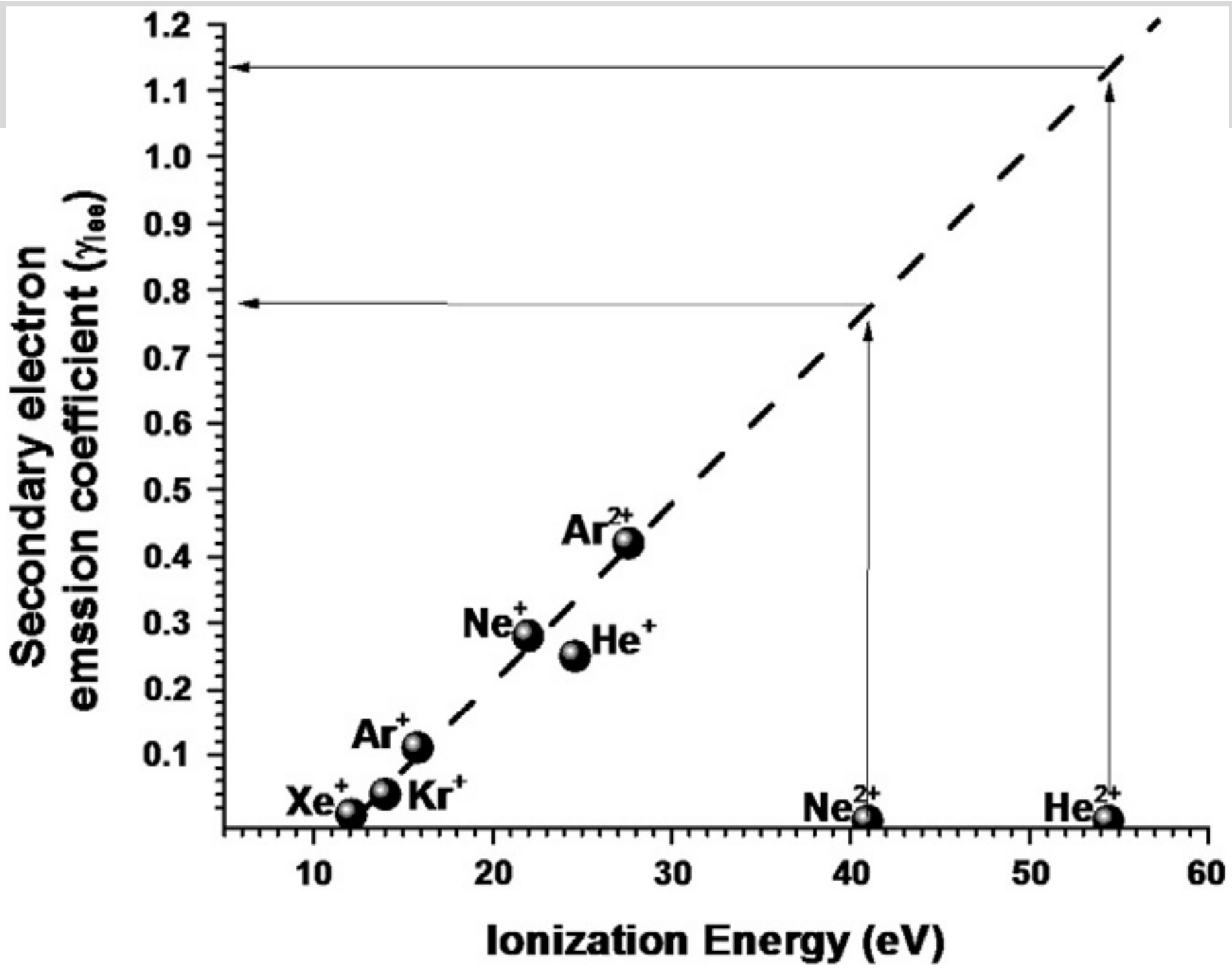


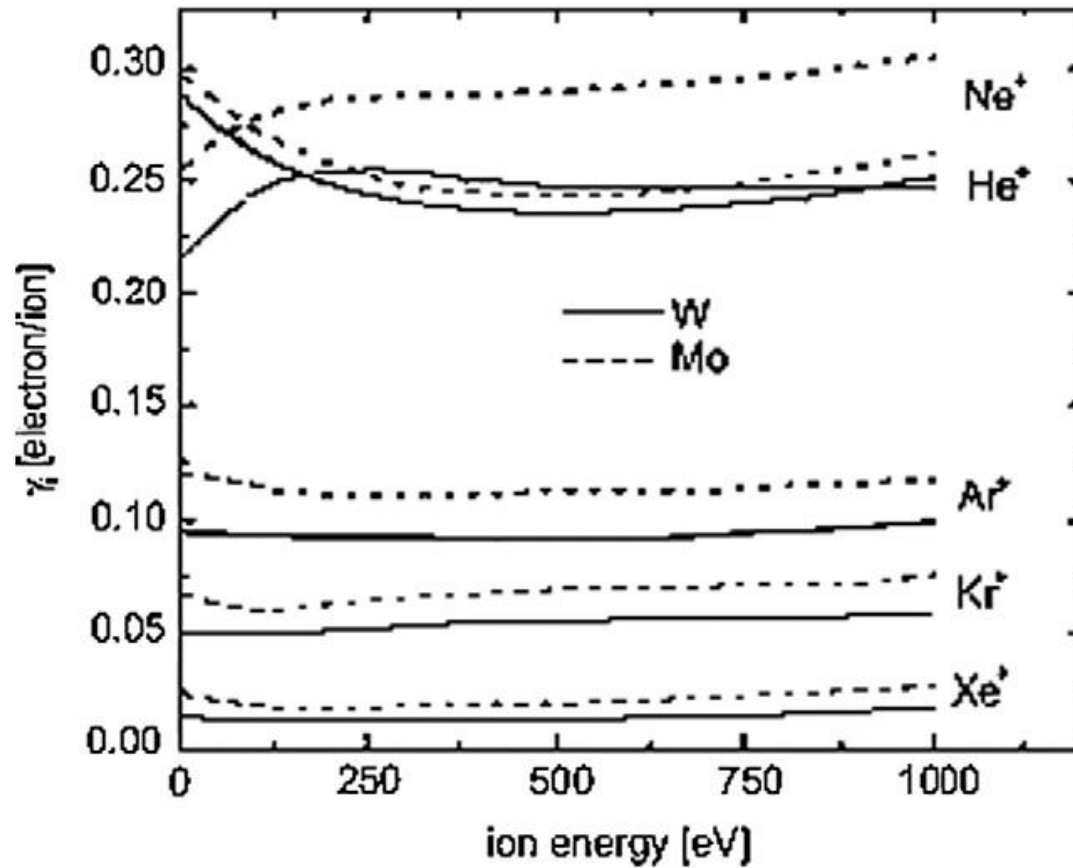
Fig. 7.9 Total electron yield of He^{++} and He^+ ions on atomically clean molybdenum.

H. D. Hagstrum (1953)

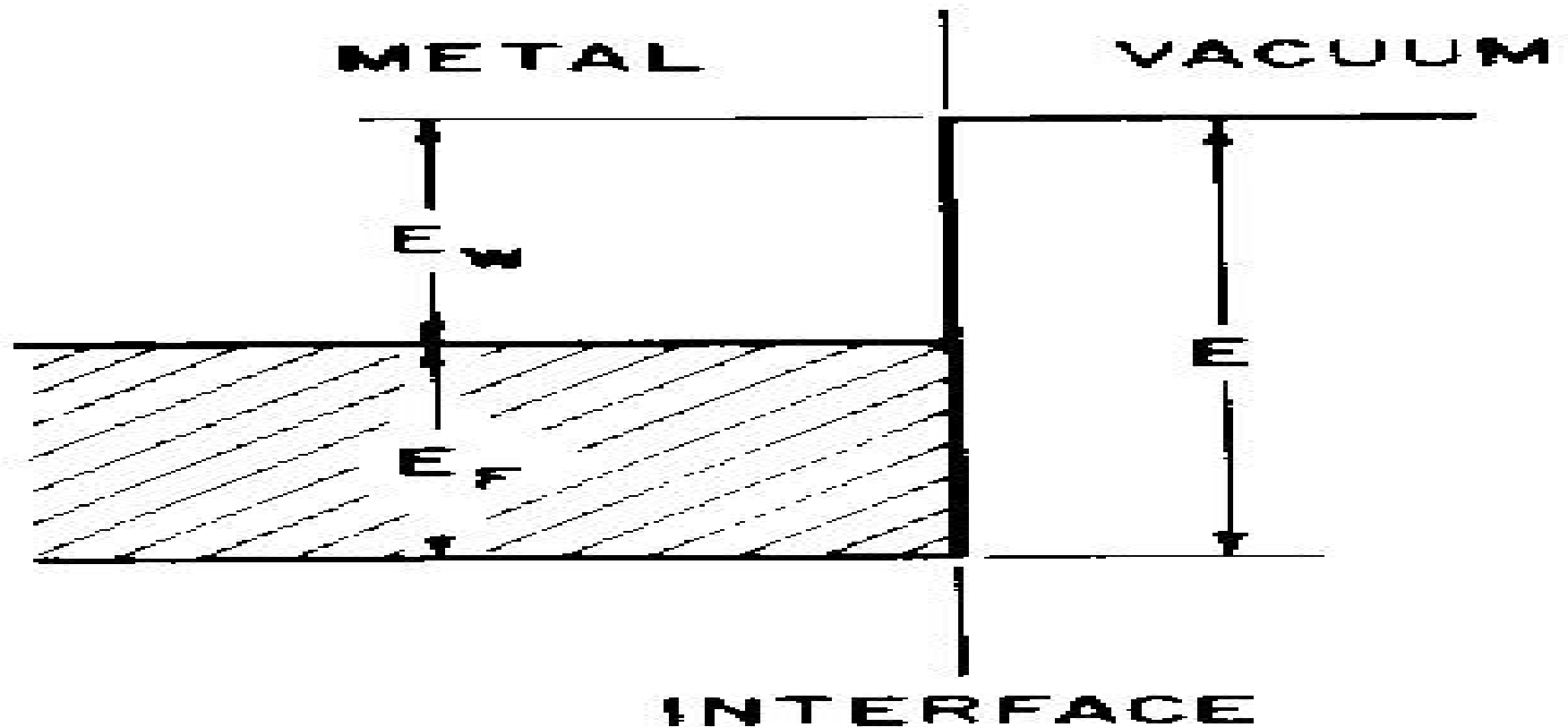
PHYREV J1 V89 P244



Závislosť na materiáli katódy

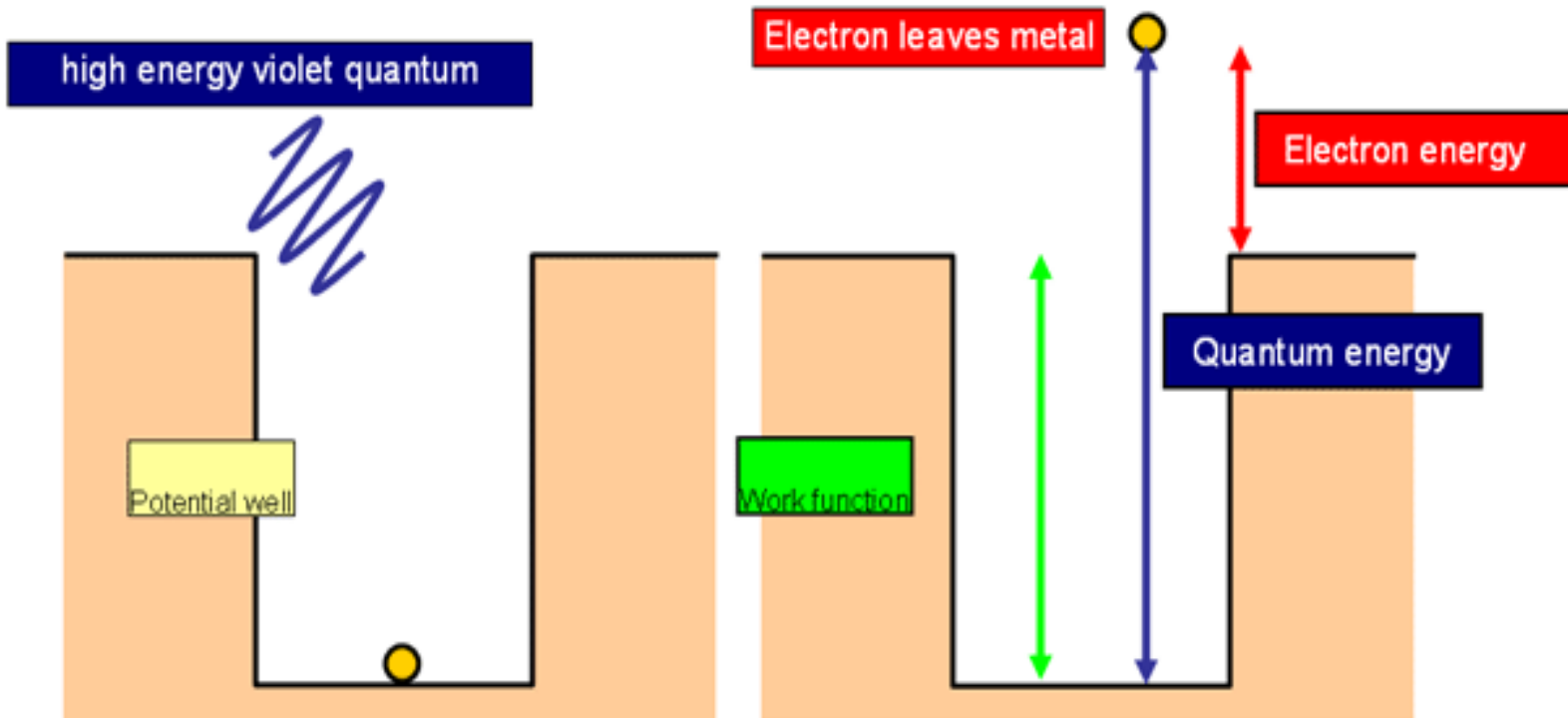


Výstupná práca E_w



Fotoemisia

(sekundárna fotoemisia):

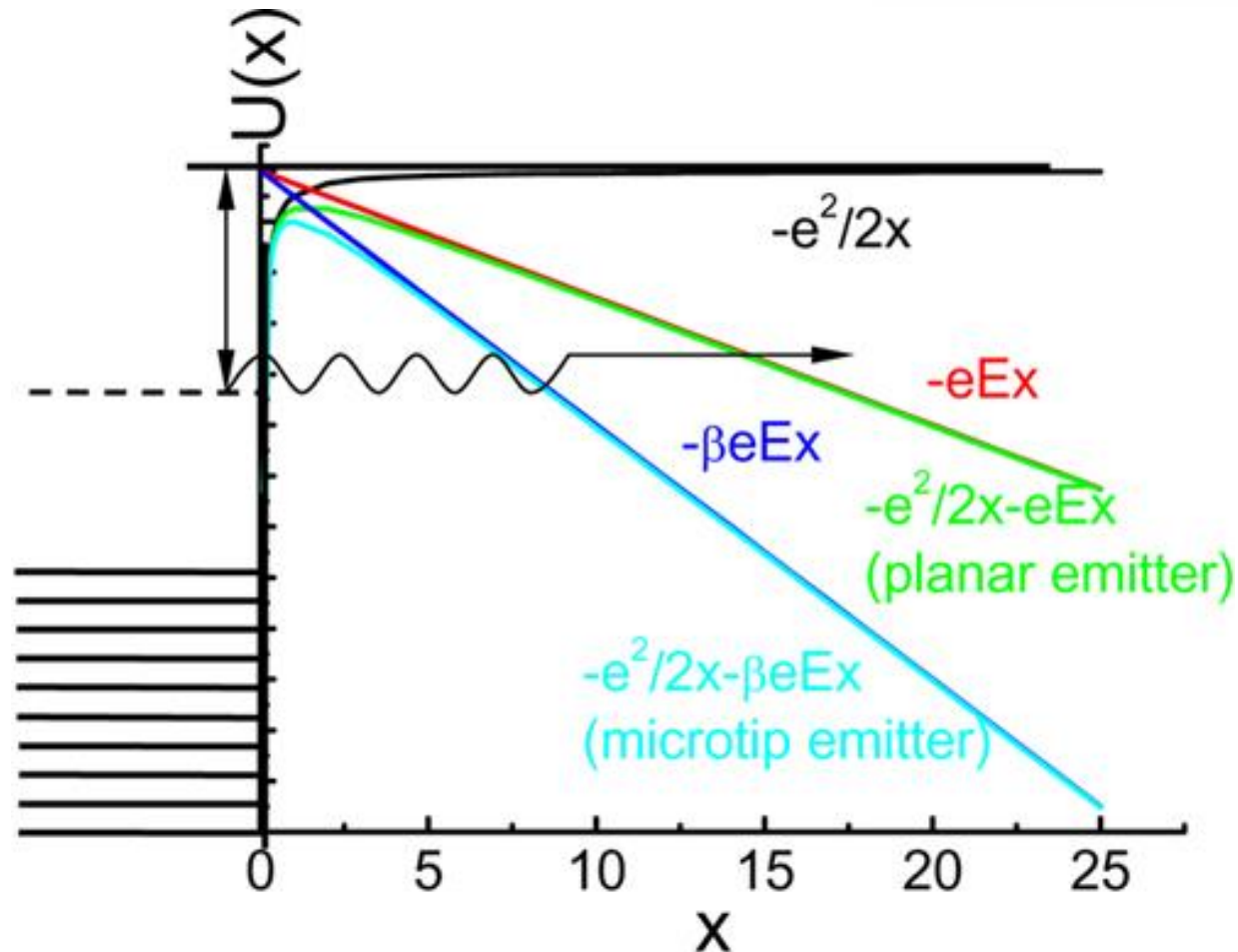


(Diagram: resourcefulphysics.org)

Autoemisia – tunelový jav

Fowlerova Nordheimova rovnica:

$$J = A \frac{(\beta E)^2}{\phi} \exp\left(-\frac{\beta \phi^{3/2}}{\beta E}\right) \quad (2)$$



Paschenov zákon – Paschenova krivka

- Napätie pri ktorom sa zapáli samostatný el. výboj v danom plyne závisí len na pomere medzielektródovej vzdialenosťi d a voľnej dráhy λ_i , ktorú potrebuje elektrón na ionizáciu molekuly nárazom, číže d/λ_i . Keďže v danom plyne je λ_i nepriamo úmerná tlaku plynu p (hustote N) je zápalné napätie samostatného výboja funkciou $p.d$ (N.d).
- Ani príliš veľké, ani príliš male p.d nie sú vhodné pre účinnú ionizáciu, t.j., spôsobujú zvýšenie zápalného napäťia. Preto pre daný plyn existuje optimálne $(p.d)_{min}$, kde je zápalné napätie minimálne:

Zápalné napätie

Koeficienty α a γ závisia od napäťia medzi elektródami

Výraz pre zápalné napätie U_z dostaneme spojením vztahov

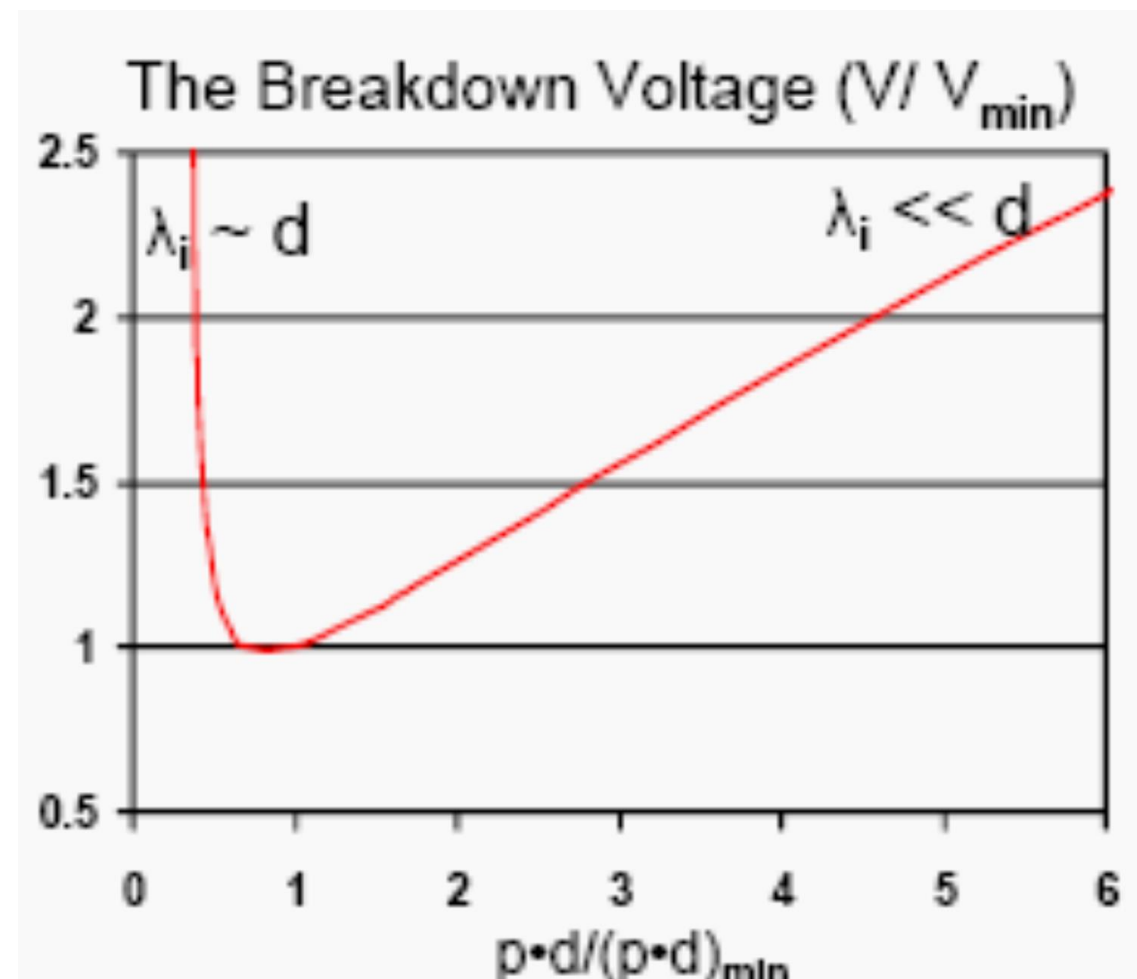
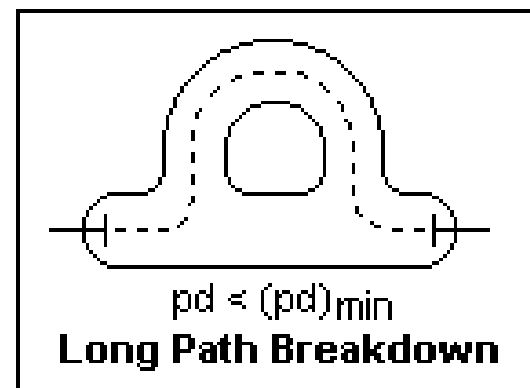
$$\alpha/p \approx Ae^{-Bp/E} \quad \text{a } \gamma(e^{\alpha x} - 1) \geq 1 \quad (\text{pričom } U = E.d)$$

(odvodenie vid'. V. Martišovič: Základy f. plazmy, Bratislava 2004)

zápalné napätie je funkciou
súčinu tlaku plynu a vzdialenosťi elektród!

$$U_z = \frac{A \cdot pd}{\ln \left[\frac{B \cdot pd}{\ln \left(+ \frac{1}{\gamma} \right)} \right]} = f(pd)$$

Paschenov zákon

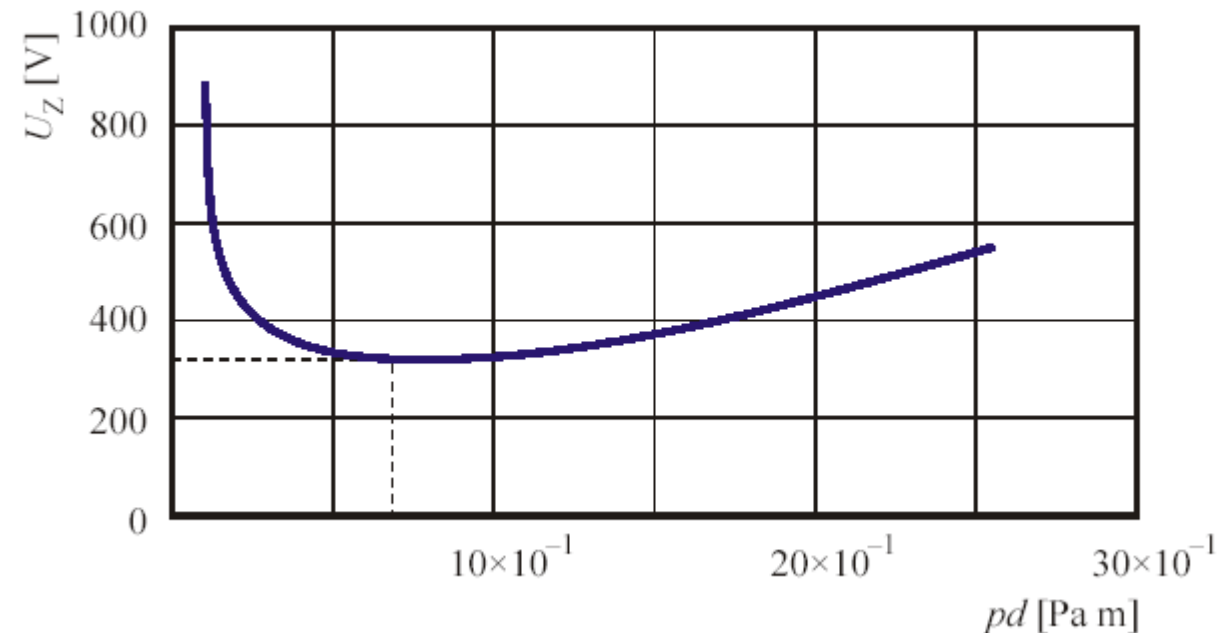


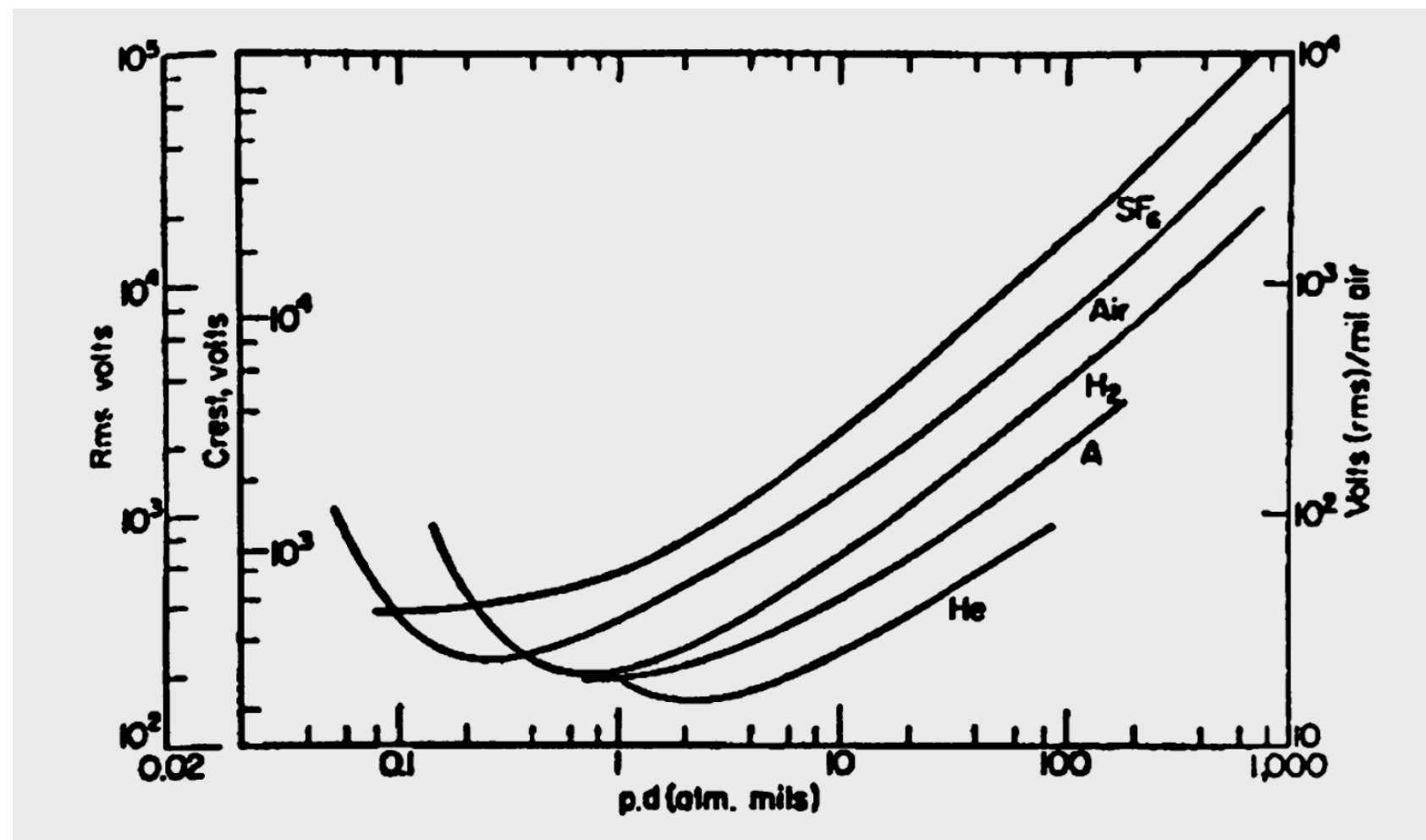
Paschenova krivka je experimentálne určená závislosť zápalného napätia U_z na tlaku plynu p a vzdialosti elektród d .

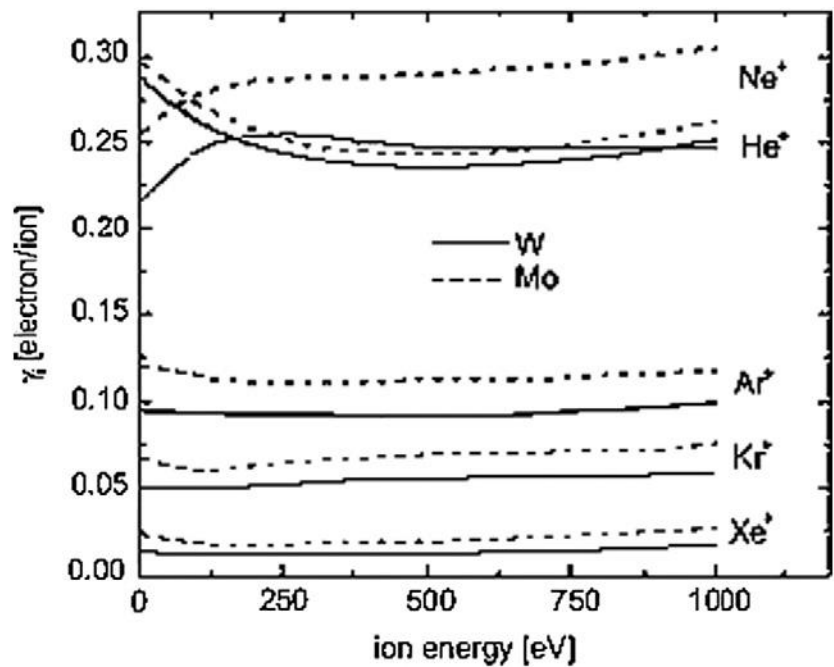
Pri atmosférickom tlaku a vzdialosti $d = 1\text{cm}$ je prierazné napätie ve vzduchu asi 25 kV .

Nejmenší prierazné napätie **300 V** odpovedá asi tlaku 1 torru ($\sim 100\text{ Pa}$) a vzdálenosti elektrod $d = 1\text{ cm}$.

Paschenova křivka pro vzduch je znázorněna na obrázku







$$U_z = \frac{A \cdot pd}{\ln \left[\frac{B \cdot pd}{\ln \left(+ \frac{1}{\gamma} \right)} \right]} = f(pd)$$

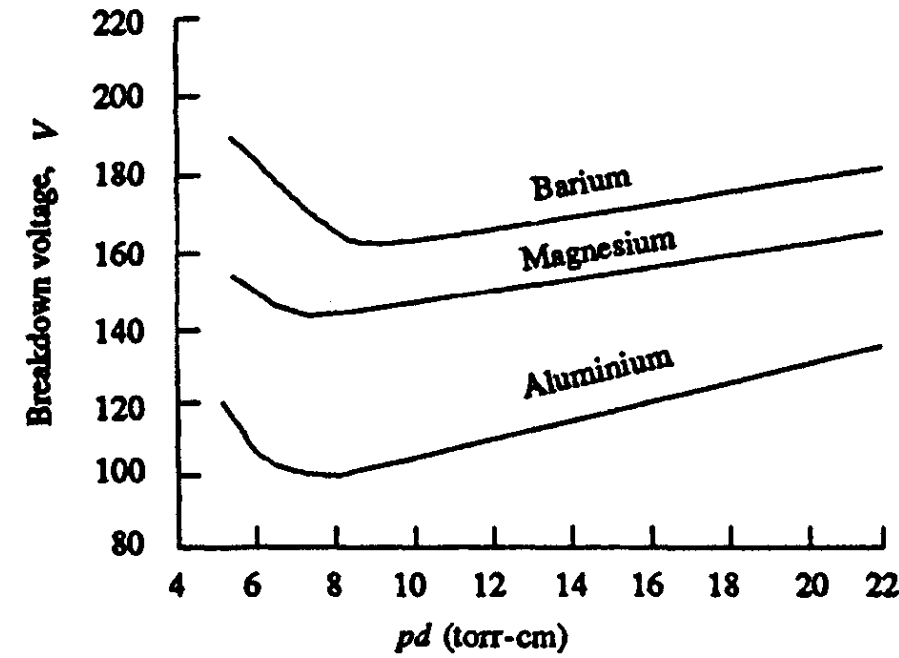
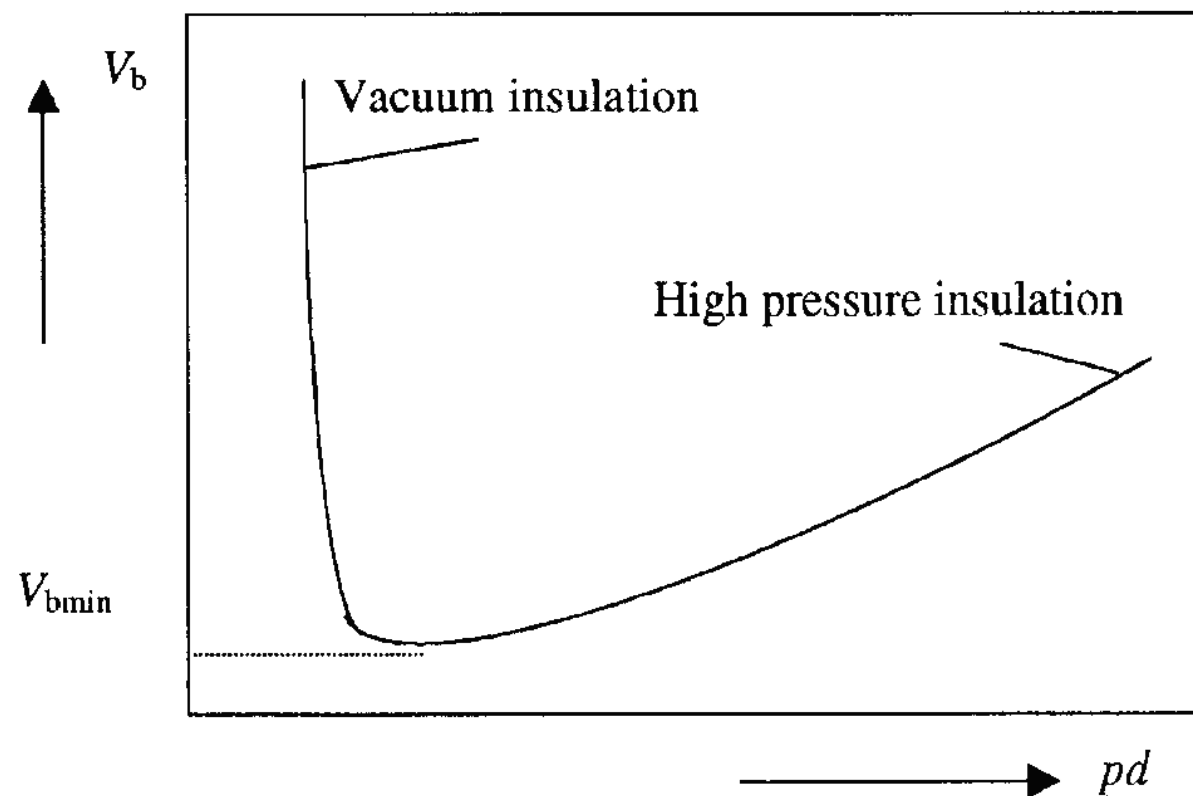


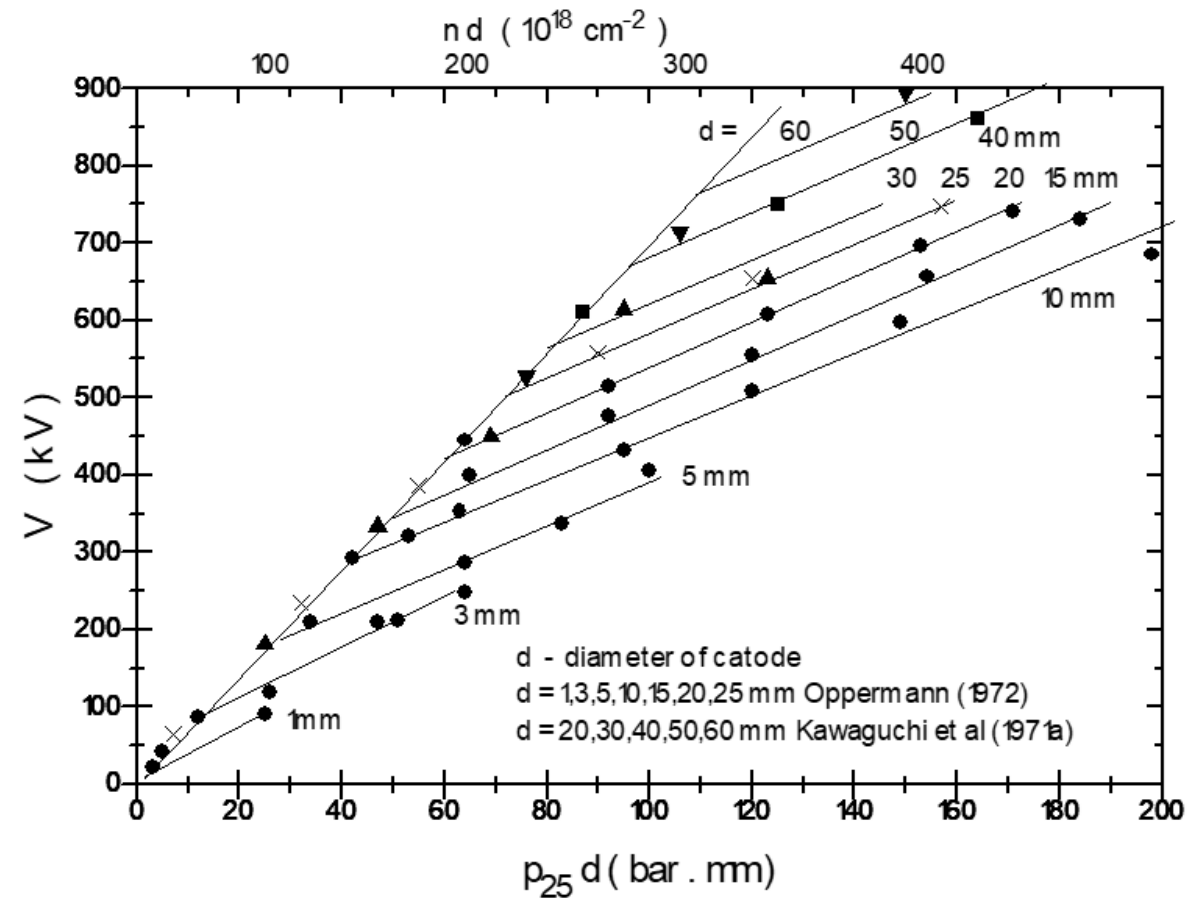
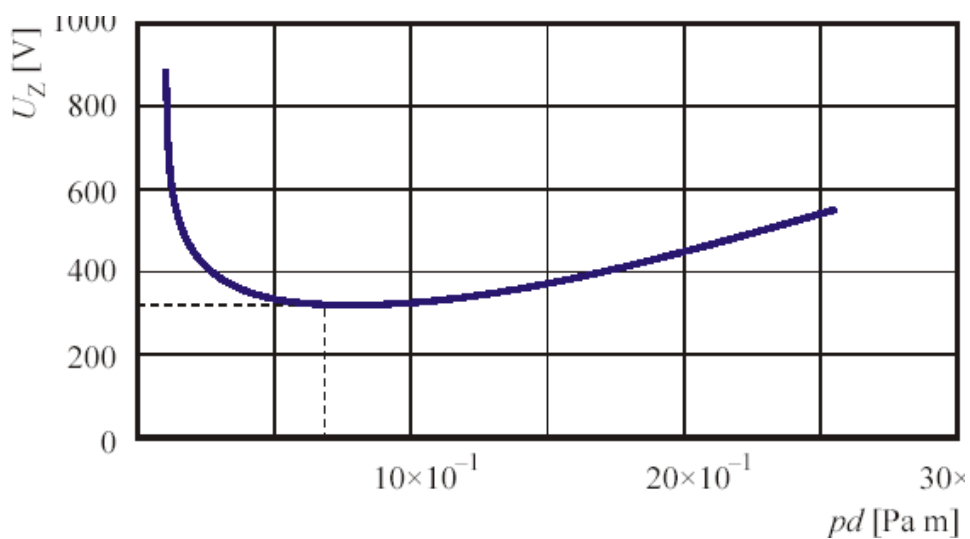
Fig. 2.15 Dependence of breakdown voltage on the cathode materials

**Na izoláciu VN môžeme použiť, alebo vakuum, alebo vysoký tlak plynu.
V oboch prípadoch však narazíme na limit intensity el. pol'a asi 10^5 V/cm.**

Prečo?



- **Autoemisia nezávisí od E/N ale len od E !**
- pri poliach nad 10^5 V/cm (teoreticky pre čisté kovy 10^7 V/cm) sposobí odchýlku od Paschenovej krivky a neplatnosť Paschenovho zákona:



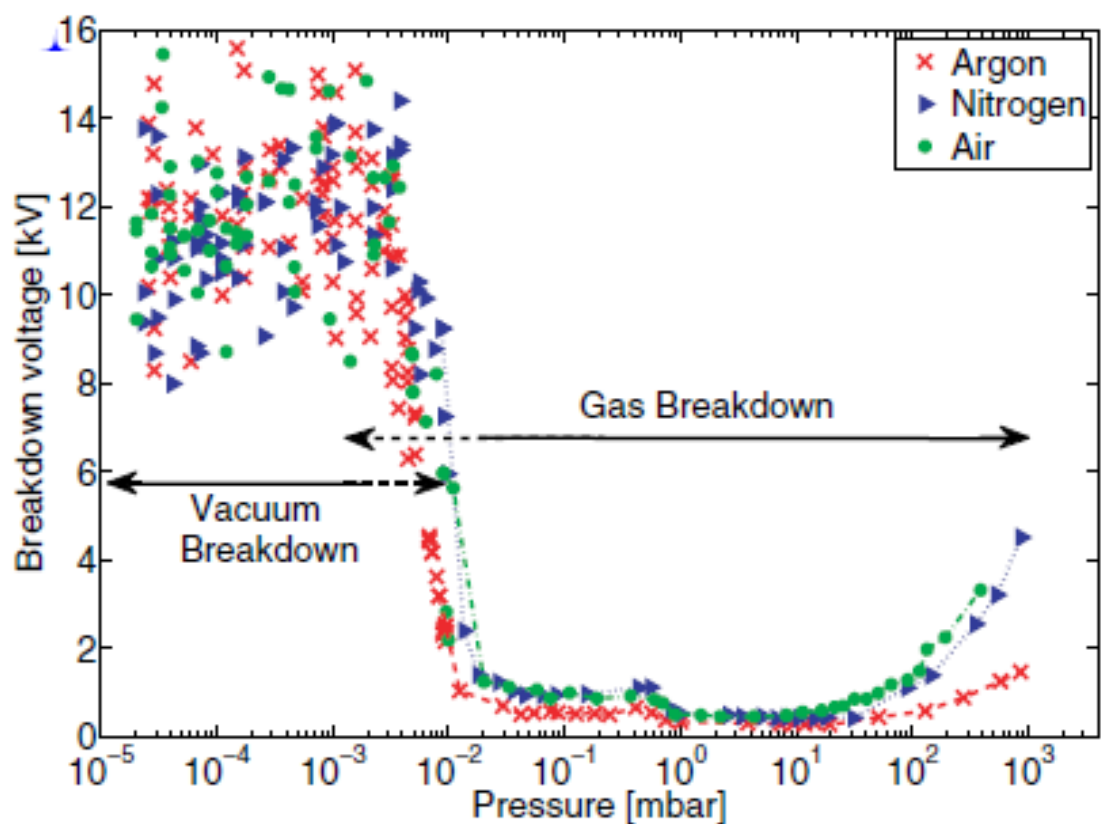
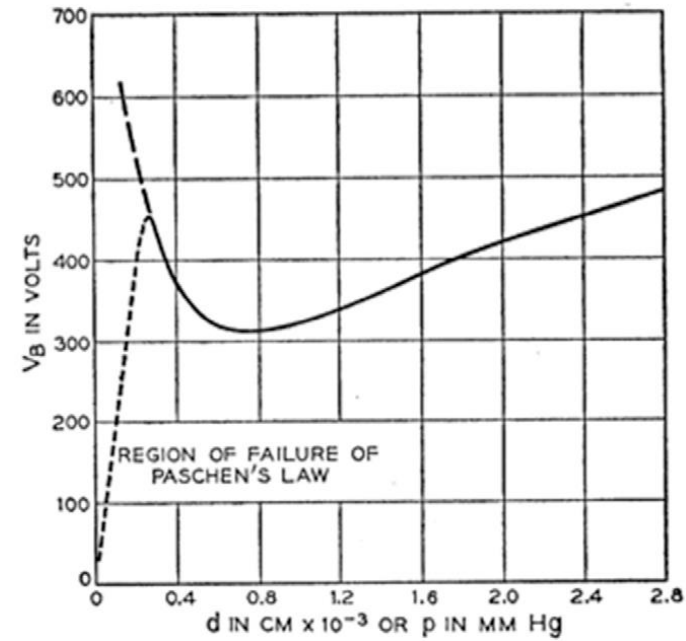
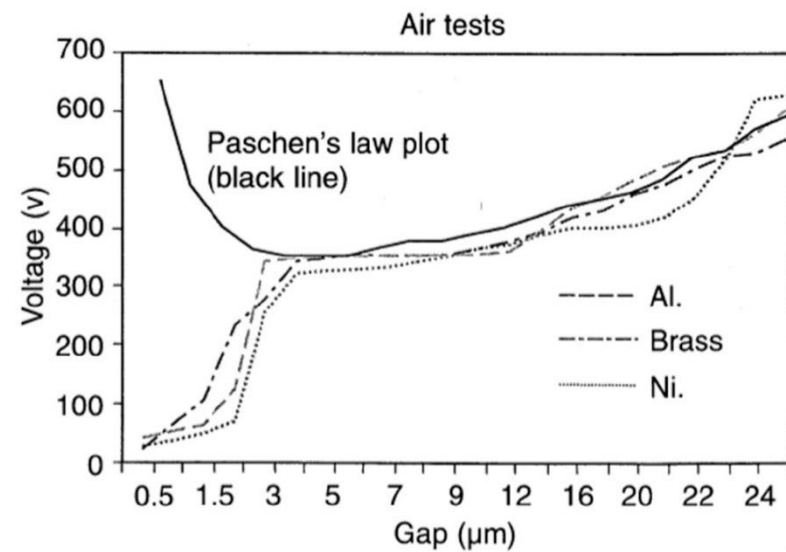


Figure 3. Measured dc breakdown voltages for the ring assembly from 2×10^{-5} to 10^3 mbar in different gases.

Pre malé vzdialenosťi elektród:



Plot of the breakdown voltage as a function of the electrode gap spacing d for ambient air at atmospheric pressure using different cathode materials

D B Go and A Venkattraman 2014 *J. Phys. D: Appl. Phys.* 47

Malterova emisia

Malterova emisia – autoemisia z oxidových povrchov pri znížených poliach

OPTOELECTRONICS AND ADVANCED MATERIALS – RAPID COMMUNICATIONS

Vol. 6, No. 3-4, March - April **2012**, p. 416 - 421

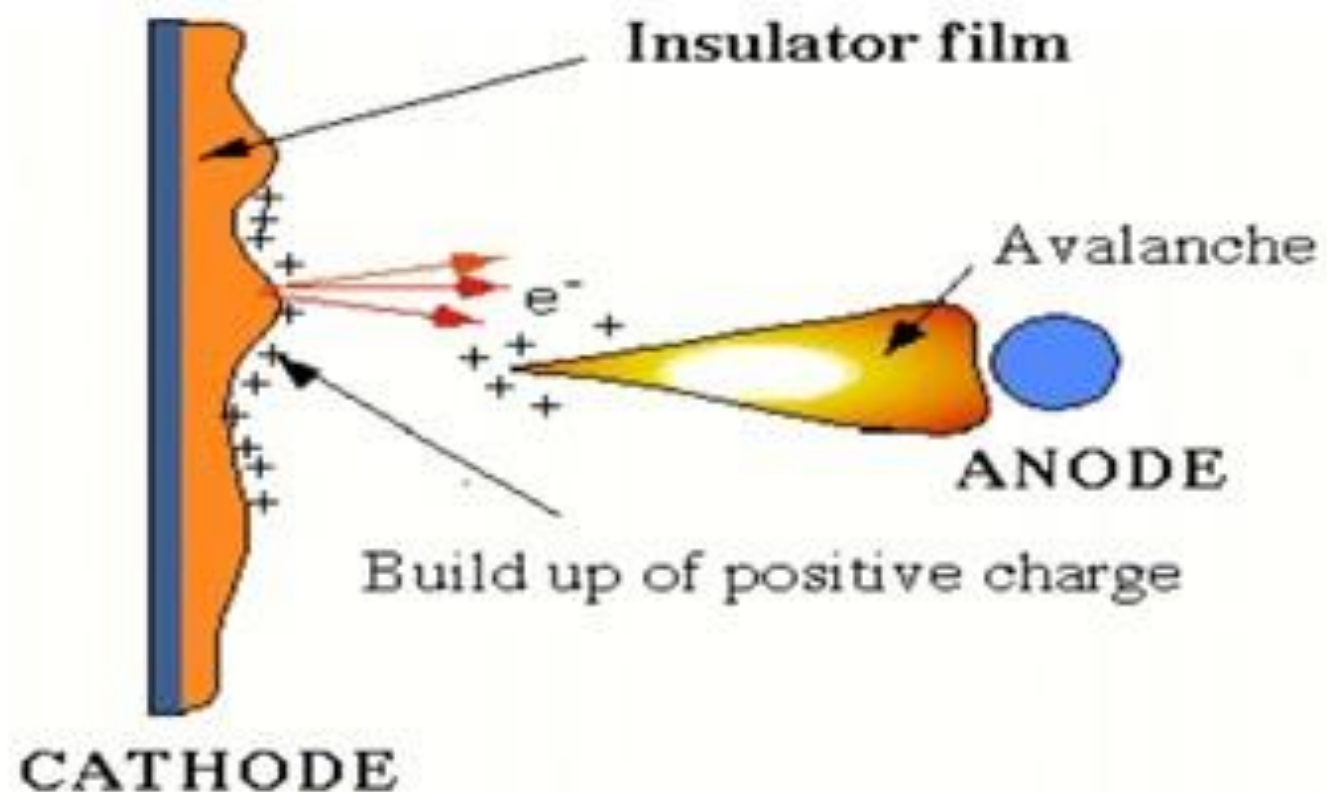
Investigation of field electron emission from ITO/glass interfaces

JADWIGA OLESIK

„In 1936 Louis Malter studied the phenomenon of secondary emission from poorly conducting oxides and discovered some anomalies [1–3]. The anomalous secondary emission was caused by charging of the emitter surface and production of an internal electric field in investigated samples. **Uncontrolled behavior of this emission made impossible practical application of its properties like e.g. some high values of the secondary emission coefficient.** If it was possible to produce a given value internal field in a sample, then the secondary emission would be controllable. In this work such an attempt has been taken.“

Zvýšenie pol'a na povrchu katódy v dosledku nabíjania povrchového oxidu (cca z 10^5 V/cm až na 10^7 V/cm)

Trénovanie katódy – „cathode conditioning“



Vplyv magnetického pol'a

Charged particles spiral around the magnetic field lines.

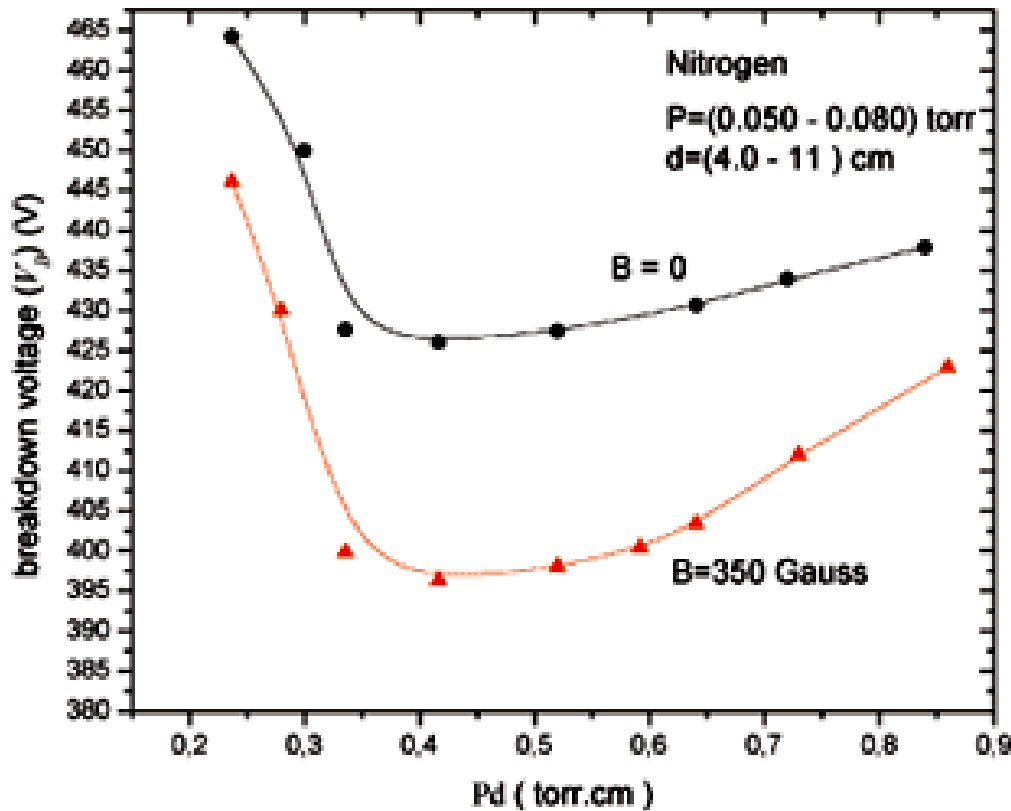
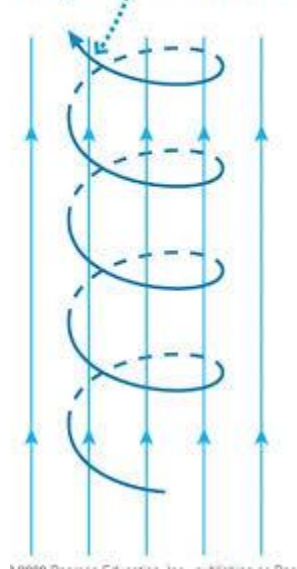
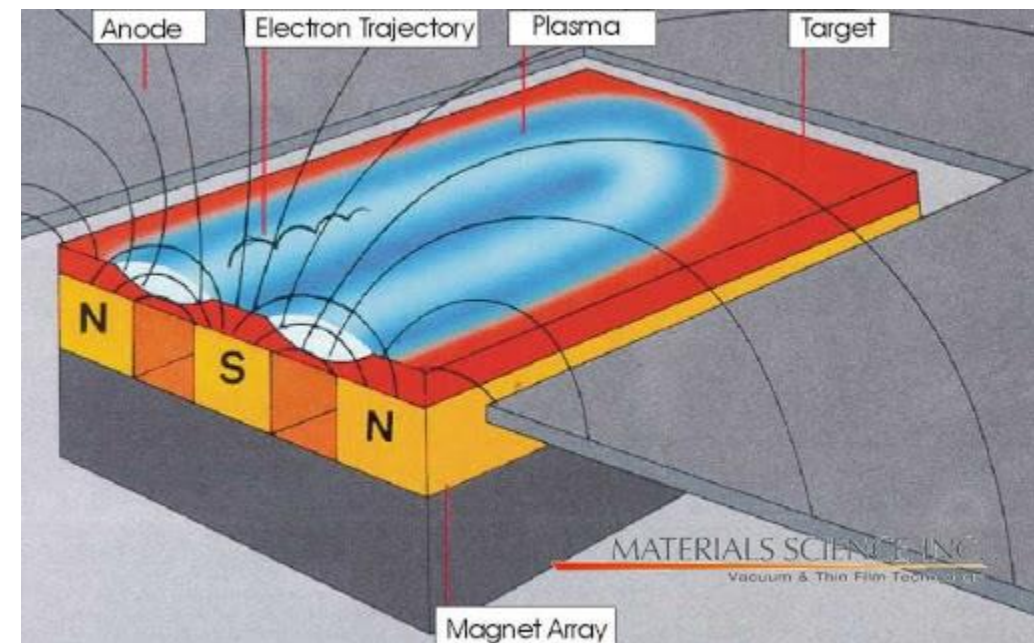
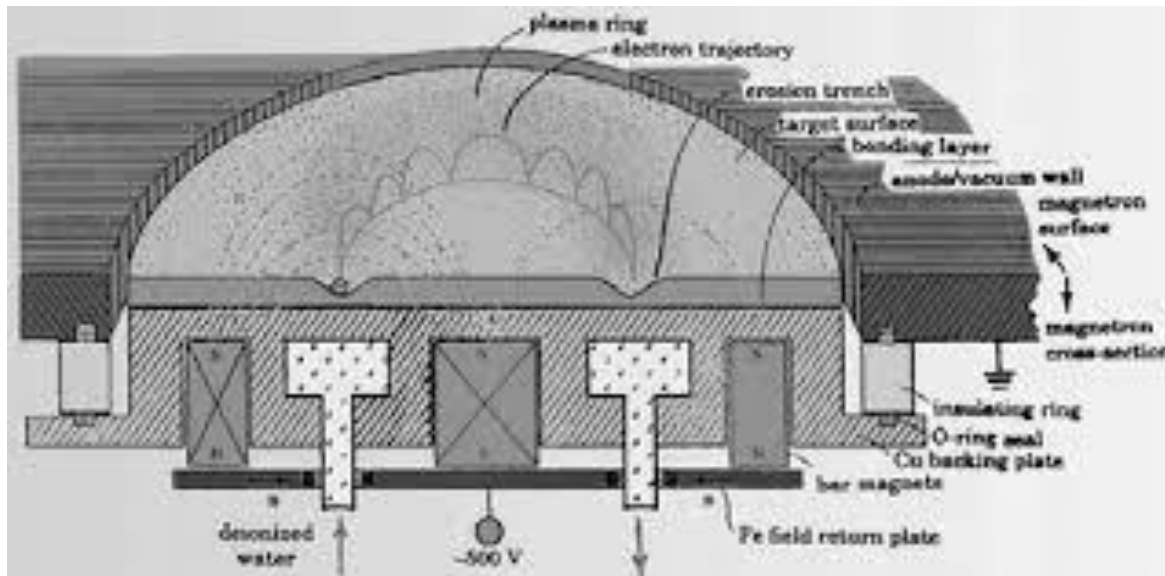
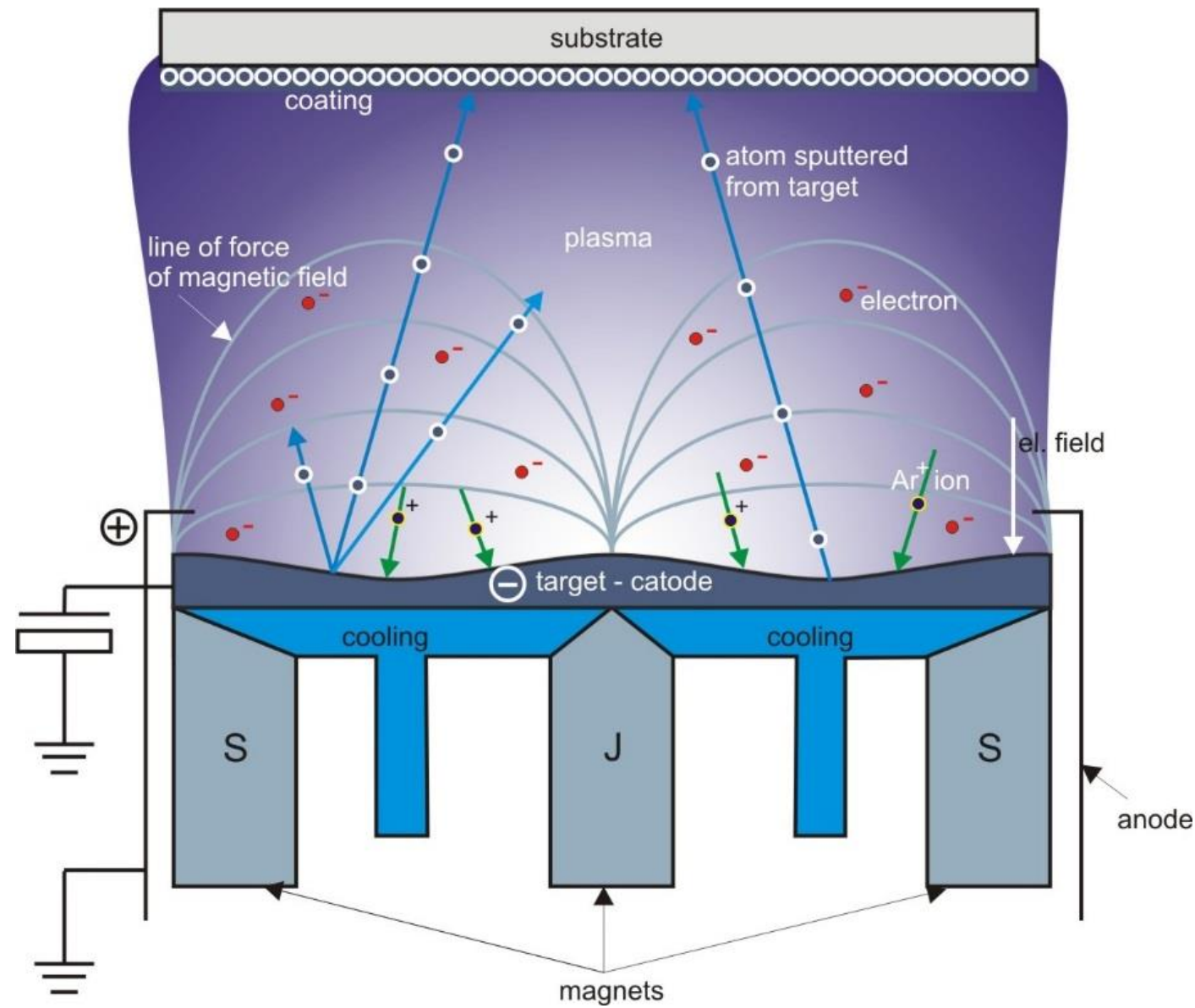
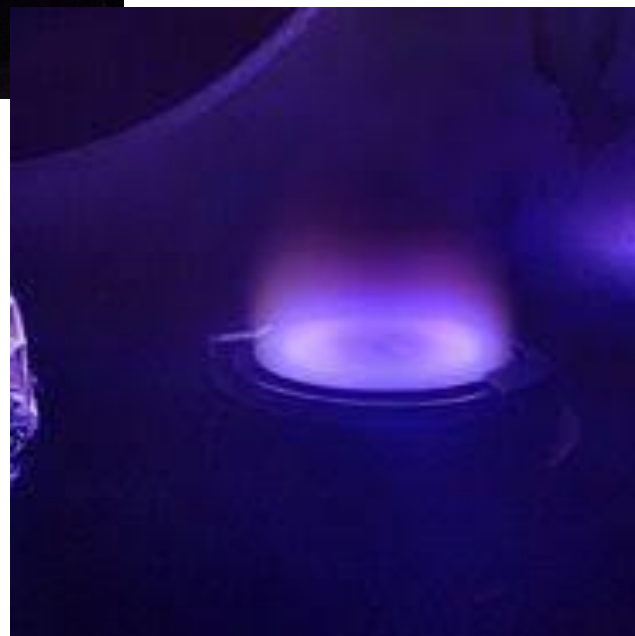
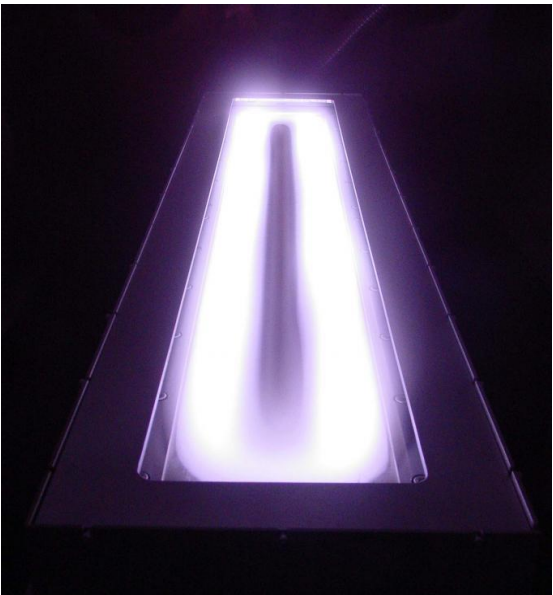


Figure 3. Breakdown voltage (V_B) for nitrogen as a function of Pd (Paschen curves) for two values of magnetic field.

Magnetrónové naprašovanie



Magnetrónové naprašovanie



Penningov zdroj iónov

Synergický efekt **magnetického pol'a** a dutej katódy

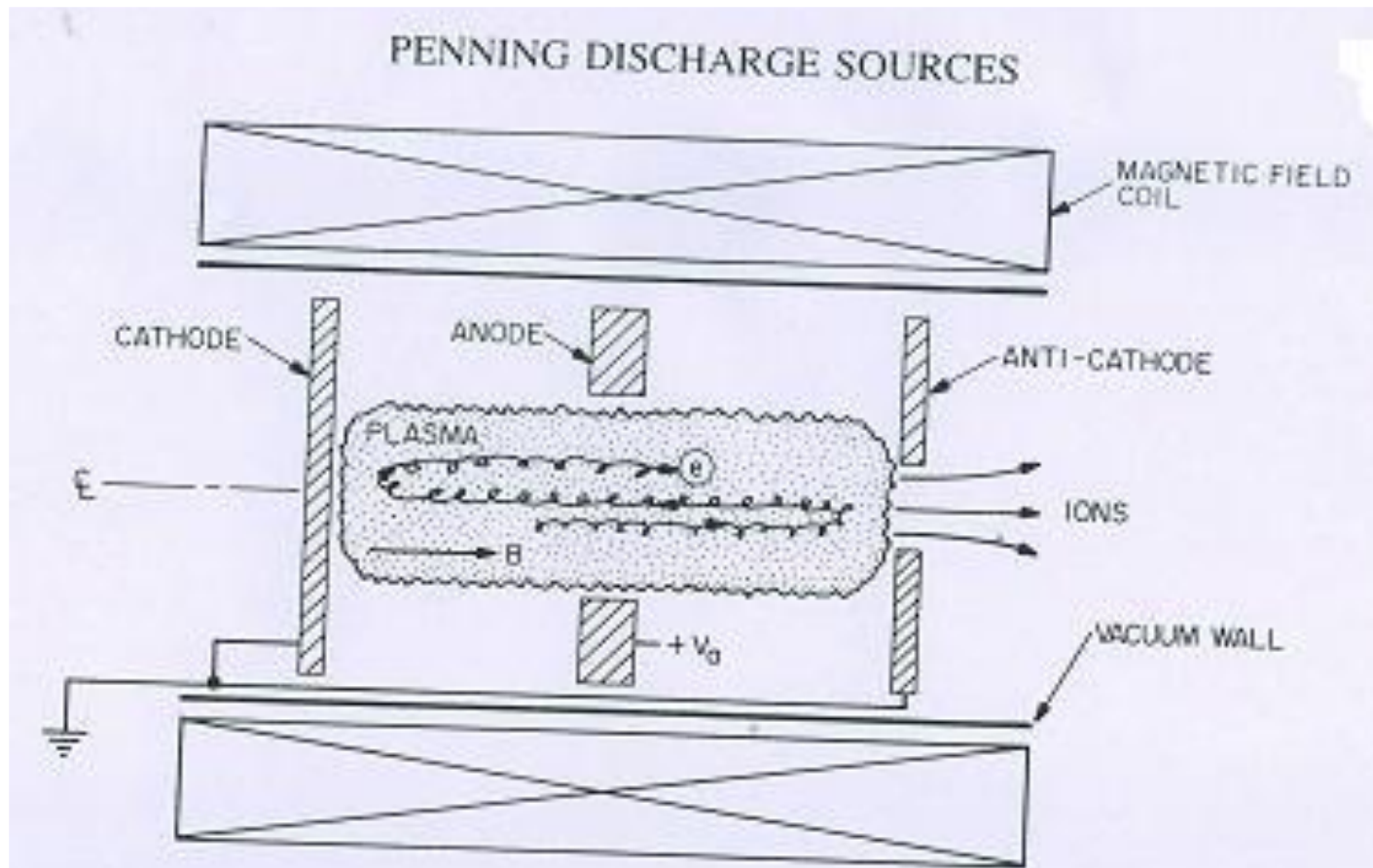
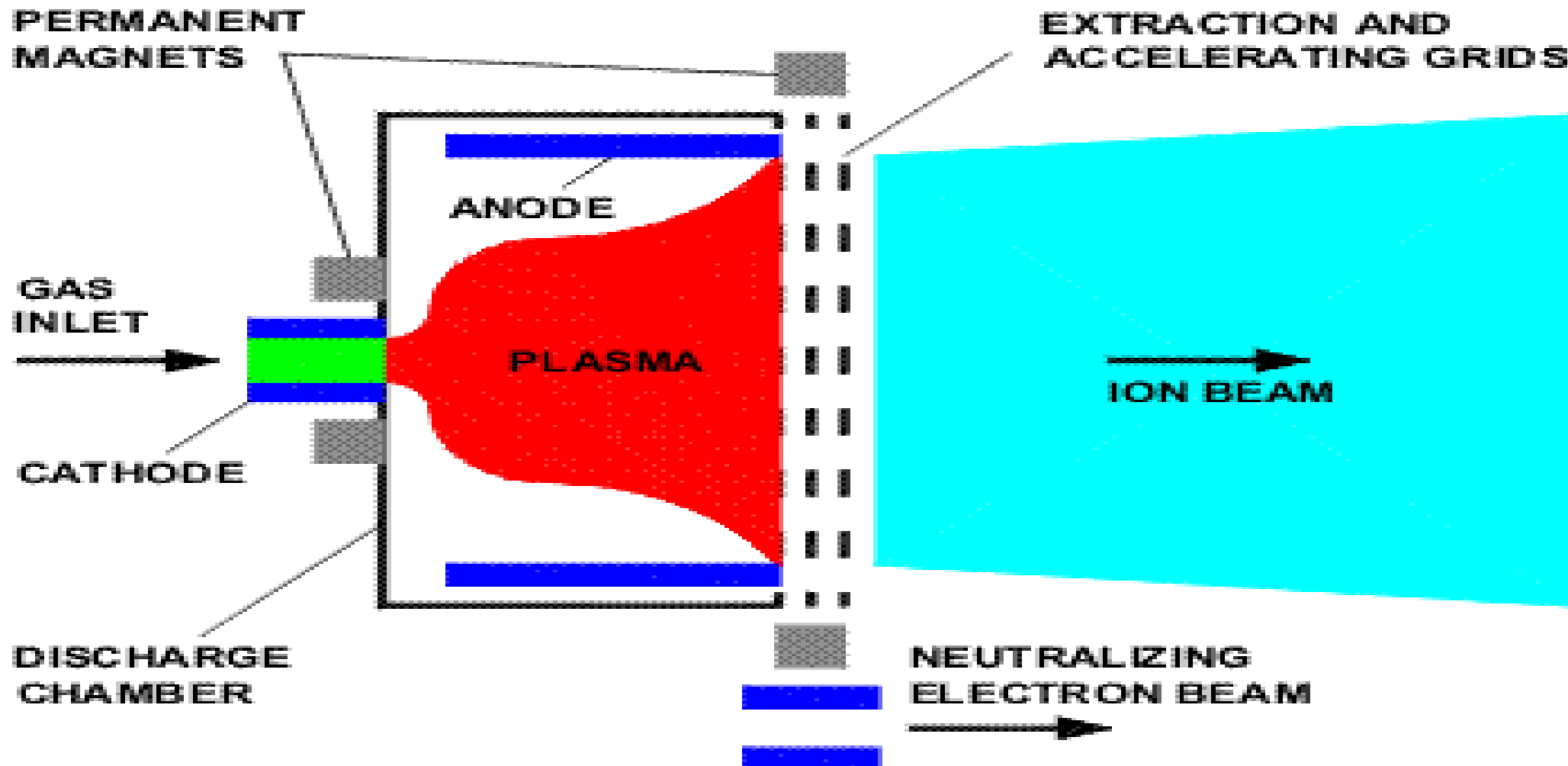


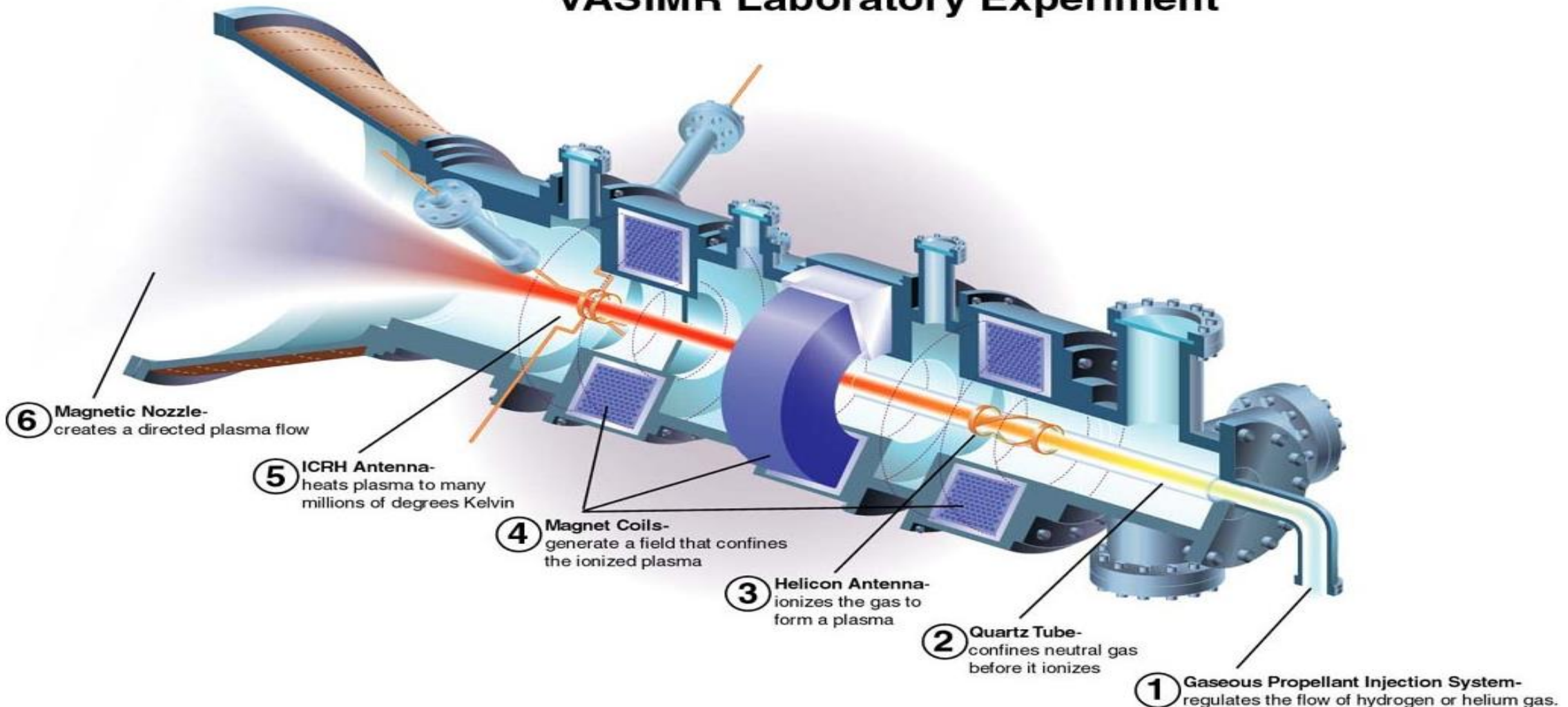
Figure 6.11 The Penning ion source, with a cylindrical anode ring at the center and two cathodes at either end. A small hole on the axis of one cathode allows a beam of ions to escape.

Iónový reaktívny motor:



Iónový reaktívny motor:

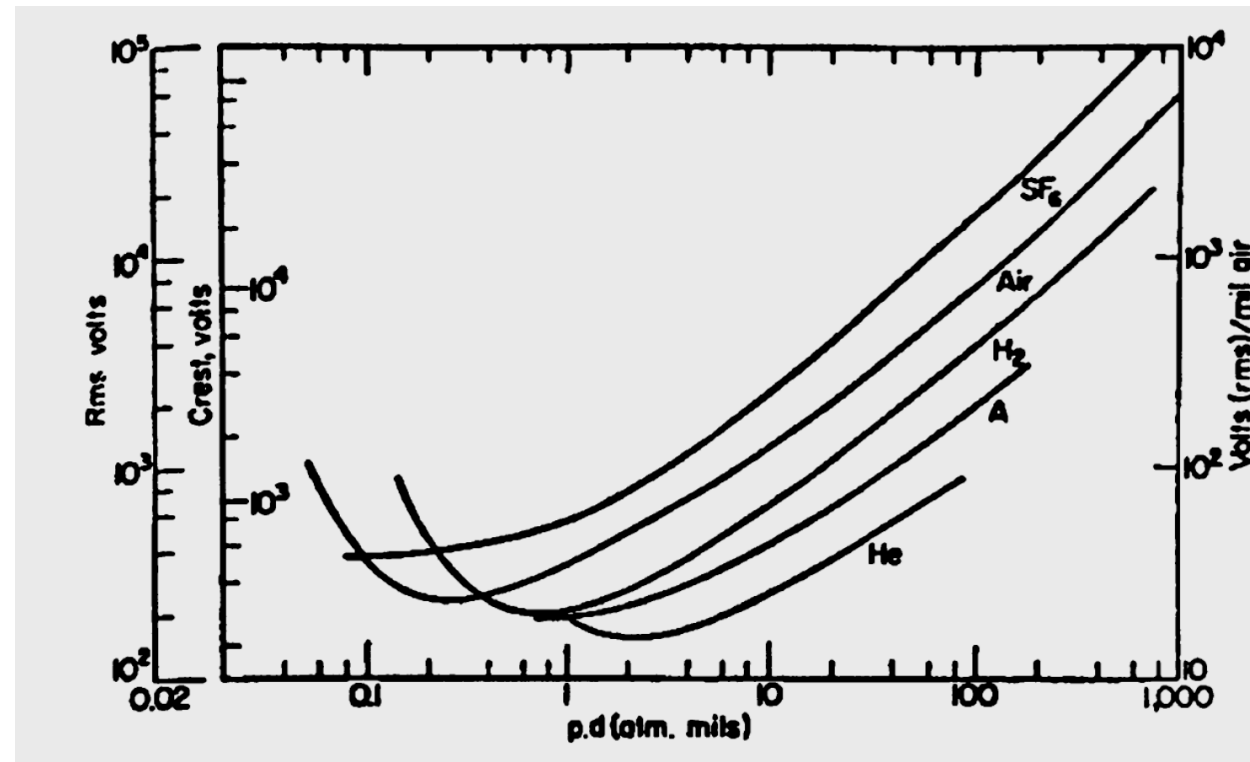
VASIMR Laboratory Experiment



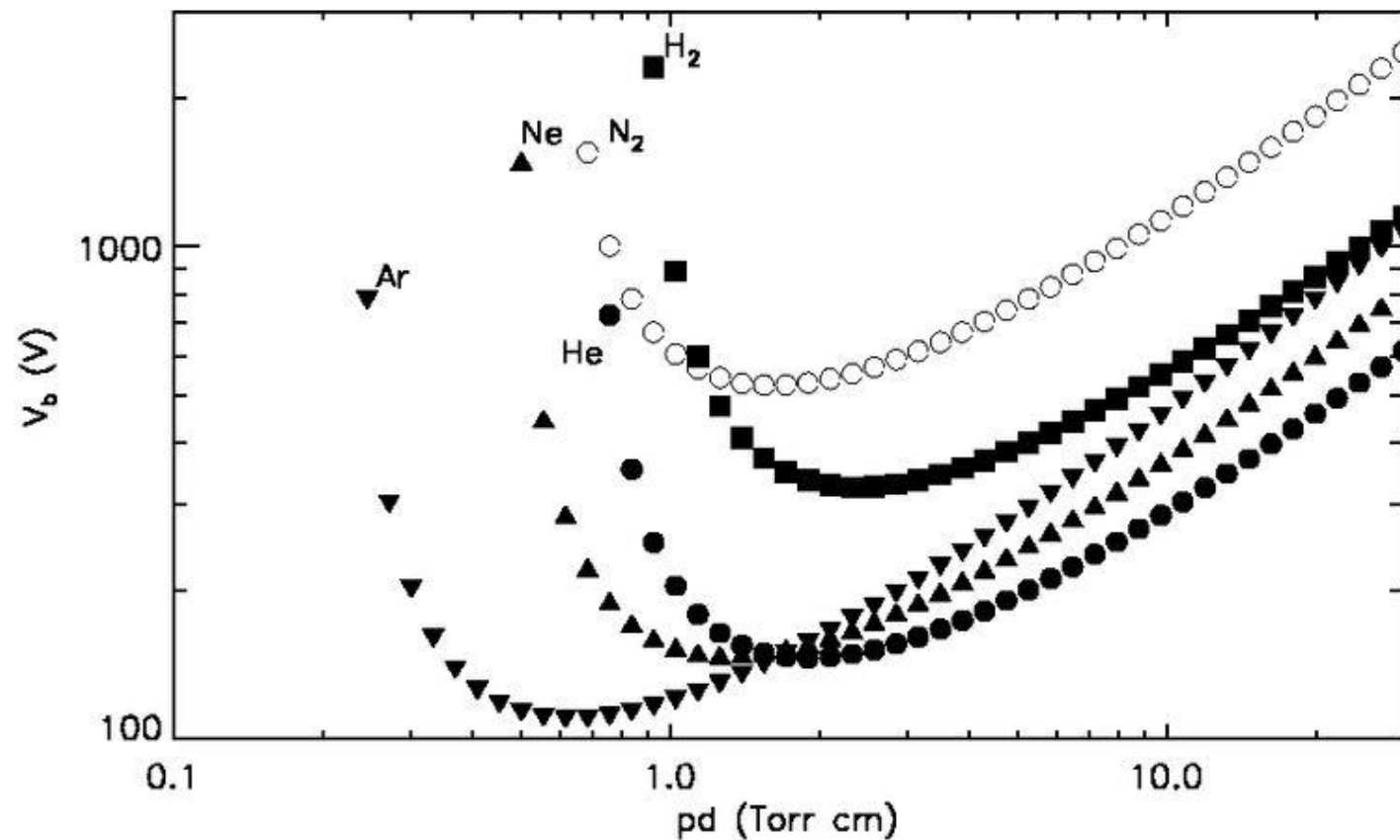
Penningova ionizácia

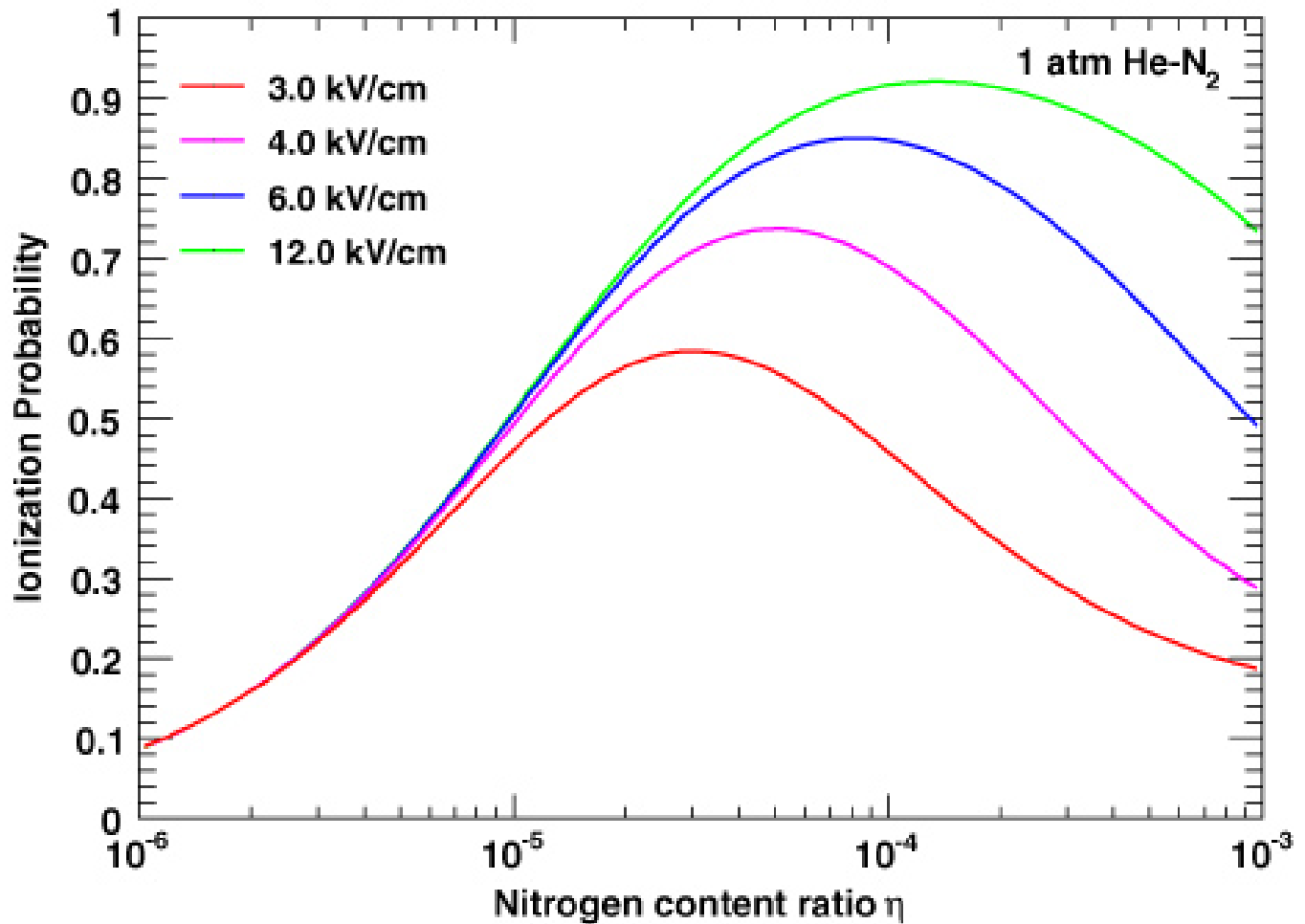
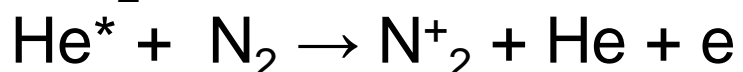
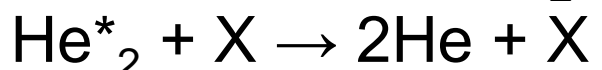
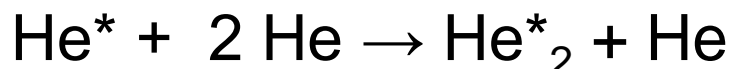
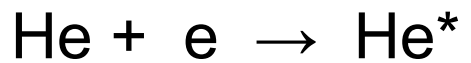
Ionizačné energie:

- He (24,59 eV)
- Ar (15,4 eV)
- SF₆ (15,3)

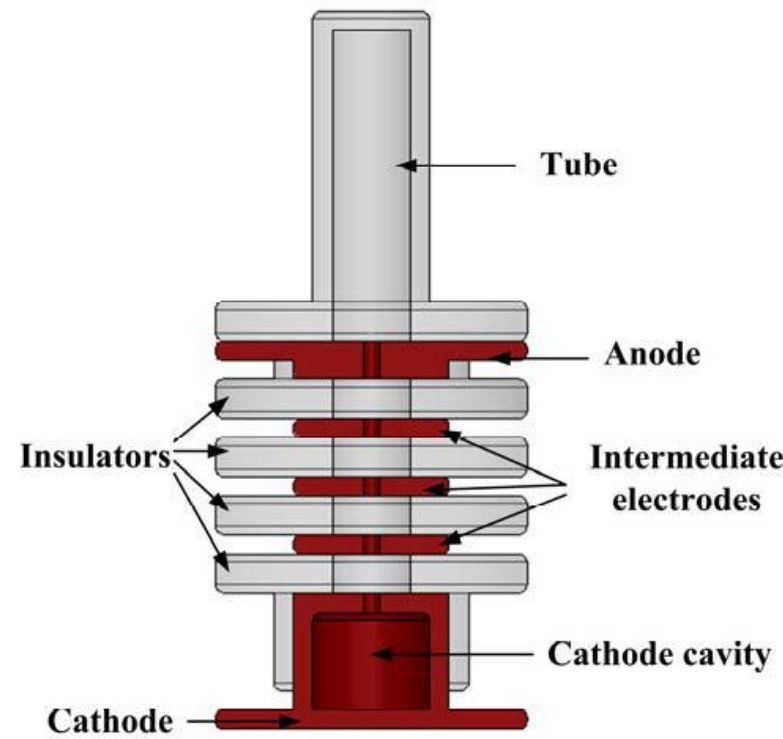
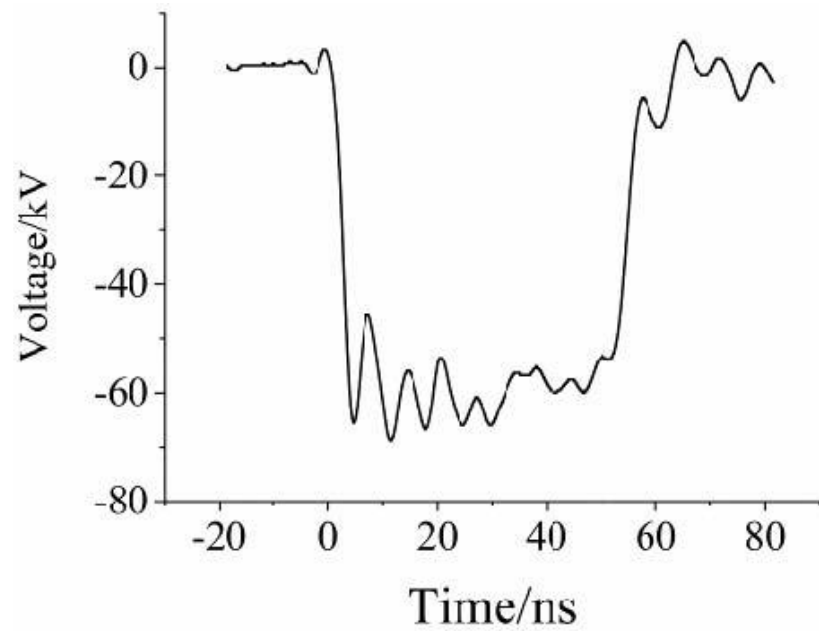


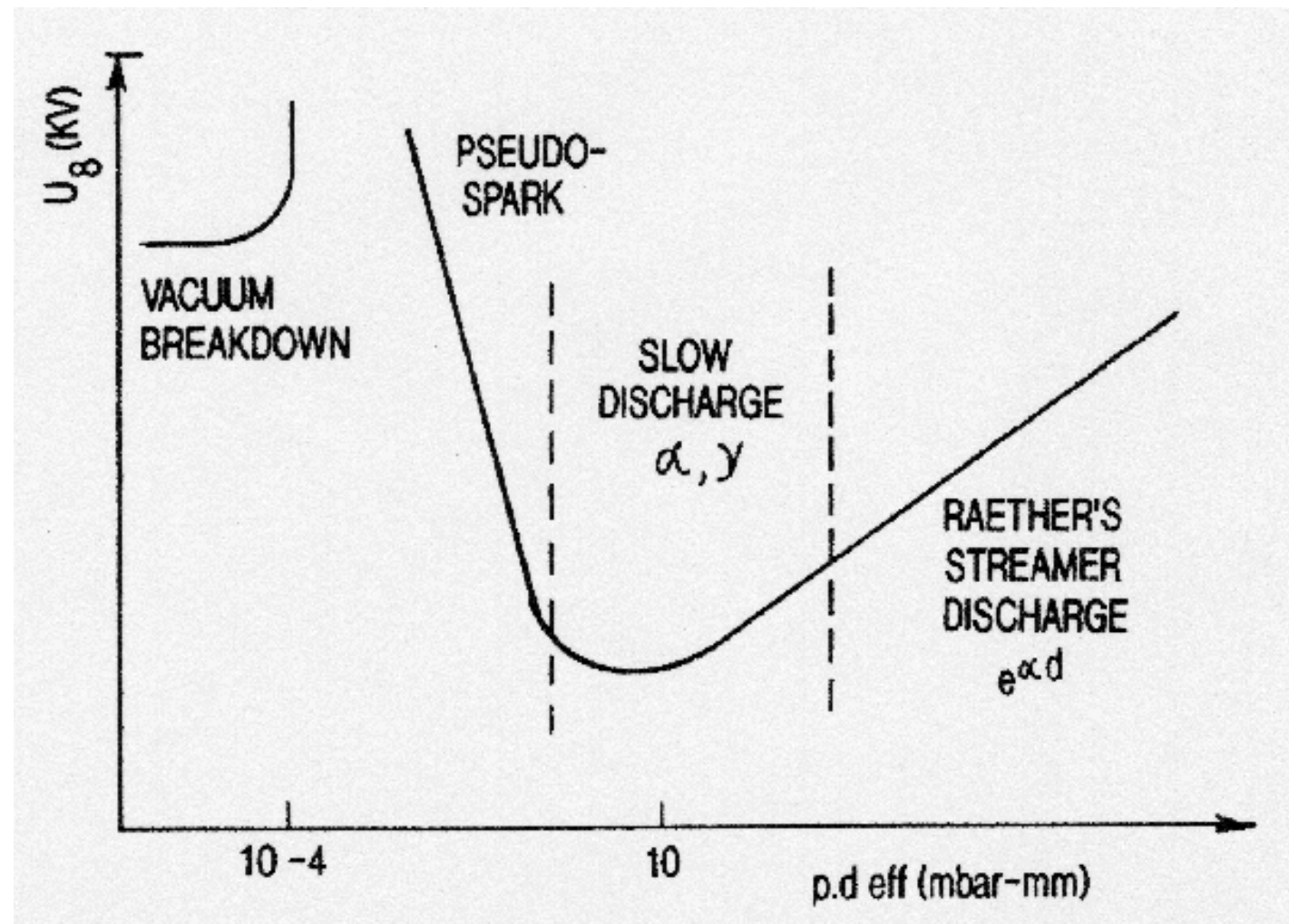
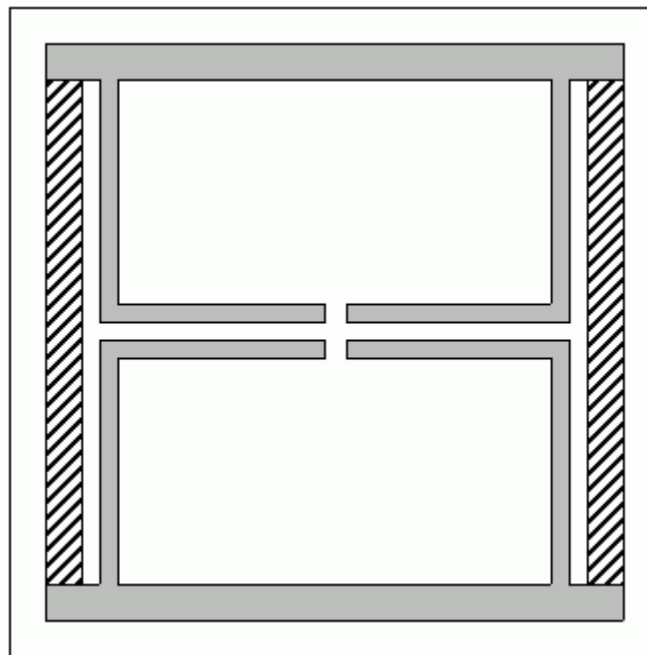
Lieberman and Lichtenberg, Principles of Plasma Discharges, Wiley 2005.

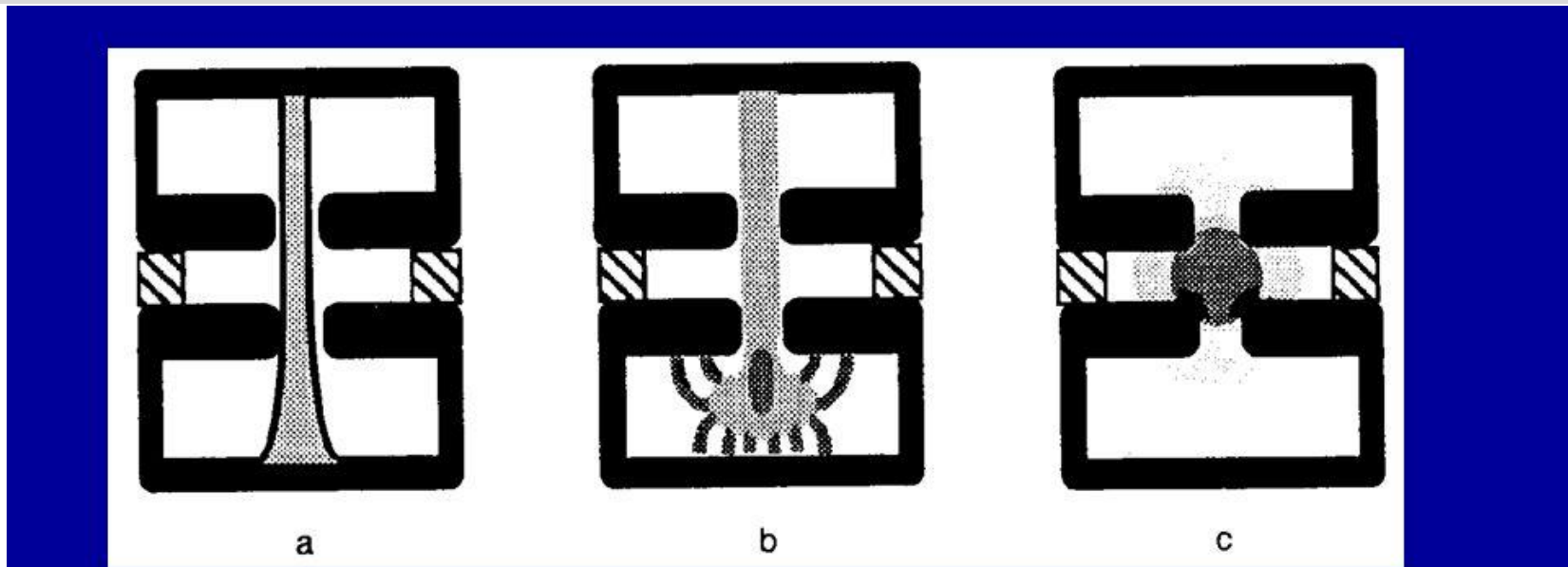




„Pseudospark“ spínače



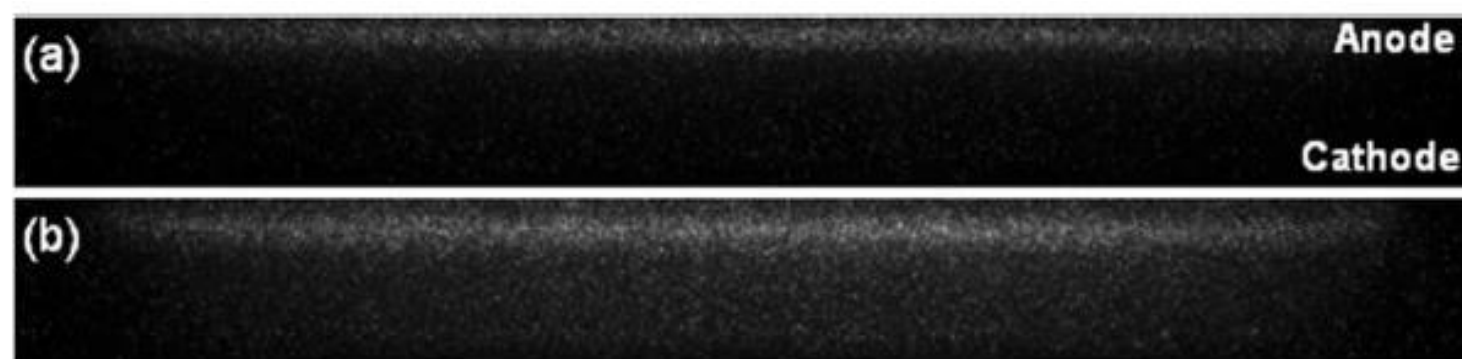
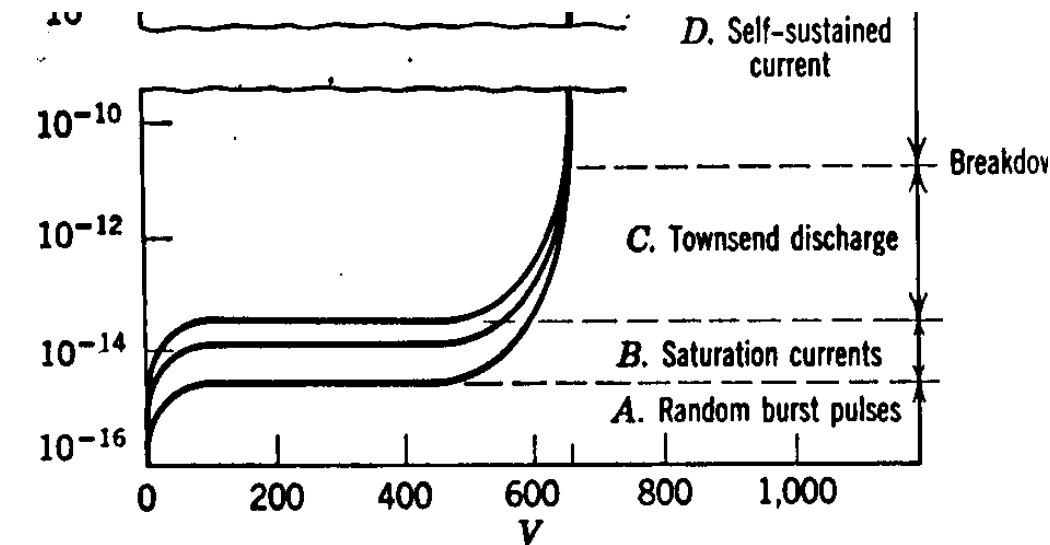




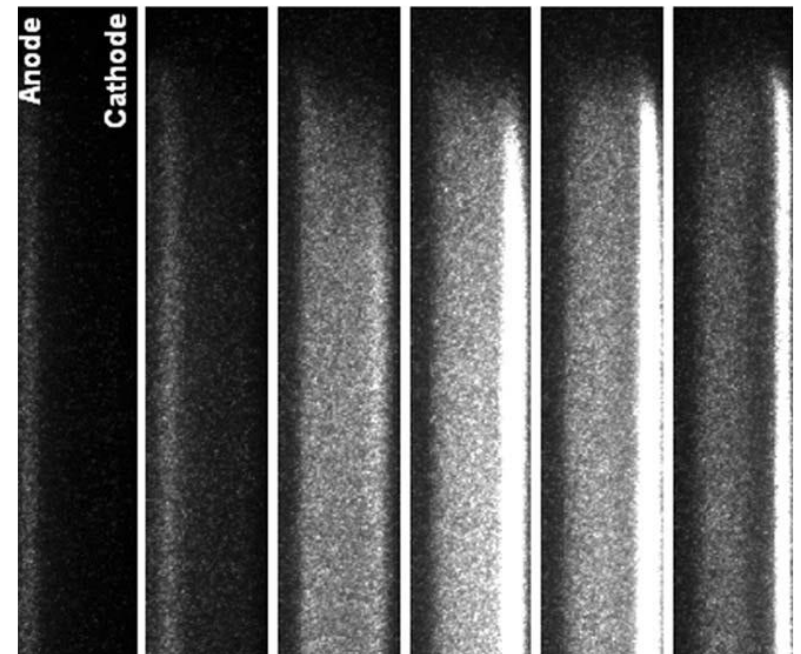
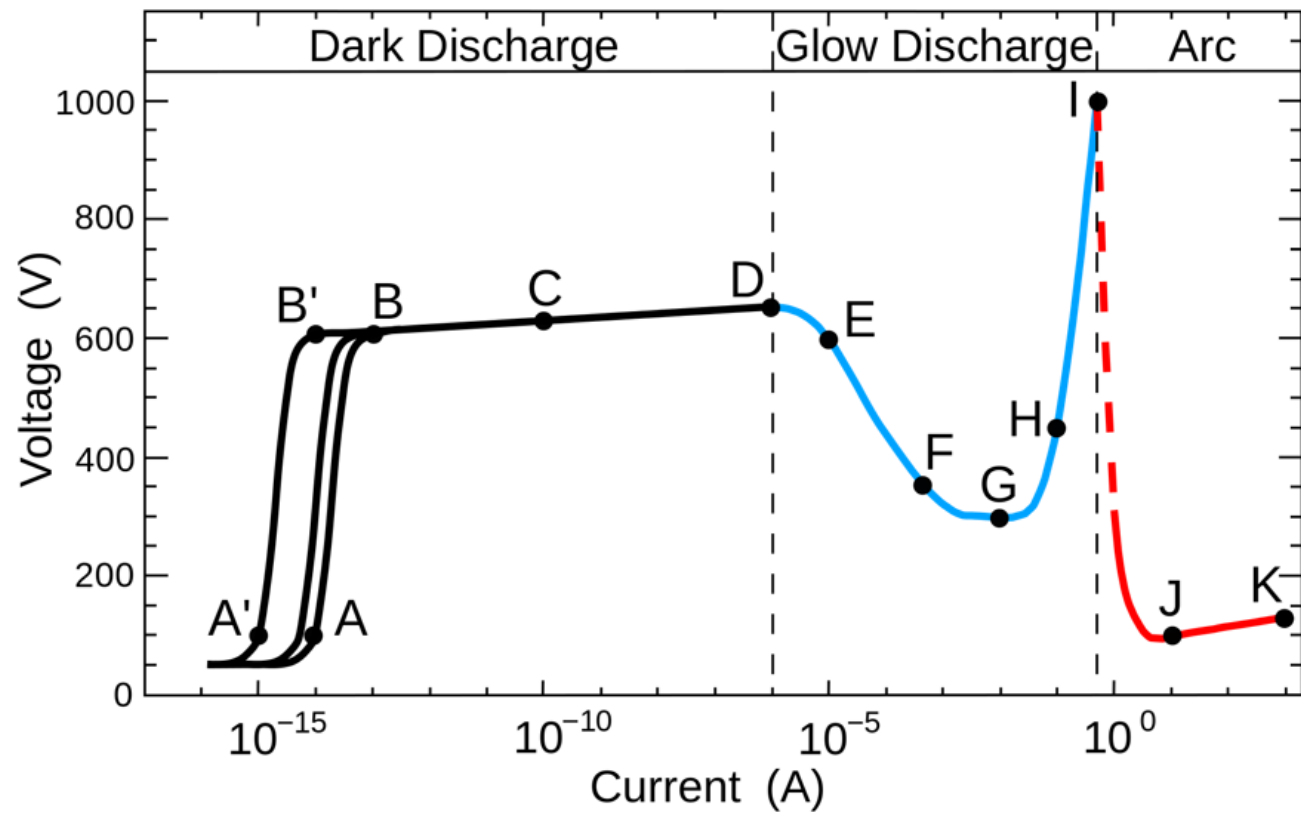
- 3 stages during a pseudospark discharge:
 - a) Townsend discharge
 - b) Hollow cathode discharge
 - c) Superdense glow discharge (conductive phase)

Townsendov (tmavý) výboj

- nesamostatný/samostatný výboj (**štatistika !**)
- malá hustota prúdu → malé koncentrácie nabitých častic → „Laplaciánske“ el. pole nedeformované priestorovým nábojom
- Townsendovom v. svieti tam kde je najvyššia koncentrácia elektrónov (ich energia je v pri Townsendovom v. v homogénnom el. poli všade rovnaká)

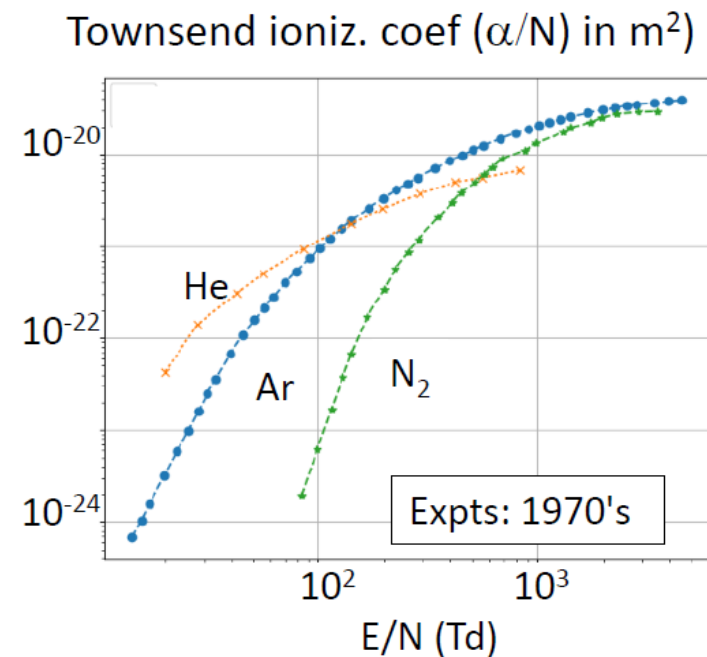
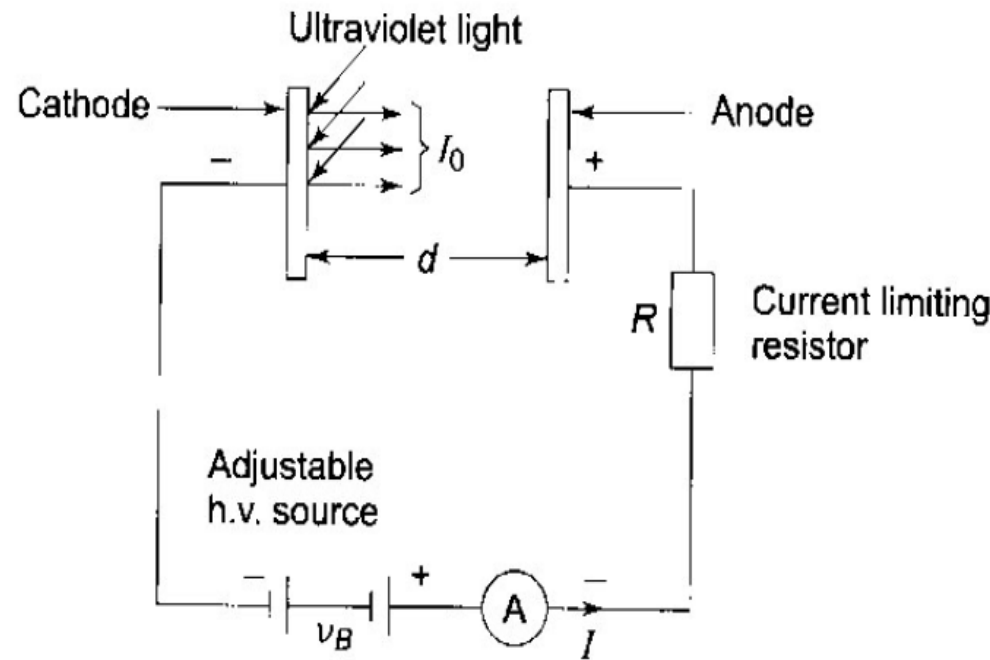


Pri zvýšení prúdu výboja **Townsendov výboj** prechádza do **tlecieho- doutnavého (glow) výboja**



Meranie α a γ s využitím stacionárneho Townsendovho výboja:

Merania pri tlaku rádove 100 Pa (jednotky Torr), napätiach rádove kV a prúdoch 0,01 pA až 10 nA



Pre hodnoty $\alpha d \gg 1$ platí $I = \frac{I_0 e^{\alpha d}}{1 - \gamma (e^{\alpha d} - 1)} \approx I_0 e^{\alpha d}$ takže $\ln I = \alpha d + \ln I_0$
 $y = mx + c$

meraním I a I_0 možeme určiť α ako funkciu E , resp. $\alpha/N = f(E/N)$

M A S A R Y K
U N I V E R S I T Y